

η_y ——芯板钢材的超强系数, Q235 取 1.25, Q195 取 1.15, 低屈服点钢材 ($f_{ay} < 160$) 取 1.1, 其实测值不应大于上述数值的 15%。

作为消能构件时, 其设计参数、性能检验、计算方法的具体要求需按专门的规定执行, 主要内容如下:

1 屈曲约束支撑的性能要求:

- 1) 芯材钢材应有明显的屈服台阶, 屈服强度不宜大于 235 kN/mm^2 , 伸长率不应小于 25%;
- 2) 钢套管的弹性屈曲承载力不宜小于屈曲约束支撑极限承载力计算值的 1.2 倍;
- 3) 屈曲约束支撑应能在 2 倍设计层间位移角的情况下, 限制芯材的局部和整体屈曲。

2 屈曲约束支撑应按照同一工程中支撑的构造形式、约束屈服段材料和屈服承载力分类进行抽样试验检验, 构造形式和约束屈服段材料相同且屈服承载力在 50% 至 150% 范围内的屈曲约束支撑划分为同一类别。每种类别抽样比例为 2%, 且不少于一根。试验时, 依次在 1/300, 1/200, 1/150, 1/100 支撑长度的拉伸和压缩往复各 3 次变形。试验得到的滞回曲线应稳定、饱满, 具有正的增量刚度, 且最后一级变形第 3 次循环的承载力不低于历经最大承载力的 85%, 历经最大承载力不高于屈曲约束支撑极限承载力计算值的 1.1 倍。

3 计算方法可按照位移型阻尼器的相关规定执行。

8.1.9 支撑桁架沿竖向连续布置, 可使层间刚度变化较均匀。支撑桁架需延伸到地下室, 不可因建筑方面的要求而在地下室移动位置。支撑在地下室是否改为混凝土抗震墙形式, 与是否设置钢骨混凝土结构层有关, 设置钢骨混凝土结构层时采用混凝土墙较协调。该抗震墙是否由钢支撑外包混凝土构成还是采用混凝土墙, 由设计确定。

日本在高层钢结构的下部(地下室)设钢骨混凝土结构层, 目的是使内力传递平稳, 保证柱脚的嵌固性, 增加建筑底部刚性、

整体性和抗倾覆稳定性；而美国无此要求。本规范对此不作规定。

多层钢结构与高层钢结构不同，根据工程情况可设置或不设置地下室。当设置地下室时，房屋一般较高，钢框架柱宜伸至地下一层。

钢结构的基础埋置深度，参照高层混凝土结构的规定和上海的工程经验确定。

8.2 计 算 要 点

8.2.1 钢结构构件按地震组合内力设计值进行抗震验算时，钢材的各种强度设计值需除以本规范规定的承载力抗震调整系数 γ_{RE} ，以体现钢材动静强度和抗震设计与非抗震设计可靠指标的不同。国外采用许用应力设计的规范中，考虑地震组合时钢材的强度通常规定提高 $1/3$ 或 30% ，与本规范 γ_{RE} 的作用类似。

8.2.2 2001 规范的钢结构阻尼比偏严，本次修订依据试验结果适当放宽。采用屈曲约束支撑的钢结构，阻尼比按本规范第 12 章消能减震结构的规定采用。

采用该阻尼比后，地震影响系数均按本规范第 5 章的规定采用。

8.2.3 本条规定了钢结构内力和变形分析的一些原则要求。

1 钢结构考虑二阶效应的计算，《钢结构设计规范》GB 50017-2003 第 3.2.8 条的规定，应计入构件初始缺陷（初倾斜、初弯曲、残余应力等）对内力的影响，其影响程度可通过在框架每层柱顶作用有附加的假想水平力来体现。

2 对工字形截面柱，美国 NEHRP 抗震设计手册（第二版）2000 年节点域考虑剪切变形的方法如下，可供参考：

考虑节点域剪切变形对层间位移角的影响，可近似将所得层间位移角与由节点域在相应楼层设计弯矩下的剪切变形角平均值相加求得。节点域剪切变形角的楼层平均值可按下式计算。

$$\Delta\gamma_i = \frac{1}{n} \sum \frac{M_{j,i}}{GV_{pe,ji}}, \quad (j = 1, 2, \dots, n)$$

式中： $\Delta\gamma_i$ ——第*i*层钢框架在所考虑的受弯平面内节点域剪切变形引起的变形角平均值；

$M_{j,i}$ ——第*i*层框架的第*j*个节点域在所考虑的受弯平面内的不平衡弯矩，由框架分析得出，即 $M_{ji} = M_{bl} + M_{b2}$ ；

$V_{pe,ji}$ ——第*i*层框架的第*j*个节点域的有效体积；

M_{bl} 、 M_{b2} ——分别为受弯平面内第*i*层第*j*个节点左、右梁端同方向地震作用组合下的弯矩设计值。

对箱形截面柱节点域变形较小，其对框架位移的影响可略去不计。

3 本款修订依据多道防线的概念设计，框架-支撑体系中，支撑框架是第一道防线，在强烈地震中支撑先屈服，内力重分布使框架部分承担的地震剪力必需增大，二者之和应大于弹性计算的总剪力；如果调整的结果框架部分承担的地震剪力不适当增大，则不是“双重体系”而是按刚度分配的结构体系。美国 IBC 规范中，这两种体系的延性折减系数是不同的，适用高度也不同。日本在钢支撑-框架结构设计中，去掉支撑的纯框架按总剪力的 40% 设计，远大于 25% 总剪力。这一规定体现了多道设防的原则，抗震分析时可通过框架部分的楼层剪力调整系数来实现，也可采用删去支撑框架进行计算来实现。

4 为使偏心支撑框架仅在耗能梁段屈服，支撑斜杆、柱和非耗能梁段的内力设计值应根据耗能梁段屈服时的内力确定并考虑耗能梁段的实际有效超强系数，再根据各构件的承载力抗震调整系数，确定斜杆、柱和非耗能梁段保持弹性所需的承载力。2005 AISC 抗震规程规定，位于消能梁段同一跨的框架梁和框架柱的内力设计值增大系数不小于 1.1，支撑斜杆的内力增大系数不小于 1.25。据此，对 2001 规范的规定适当调整，梁和柱由原来的 8 度不小于 1.5 和 9 度不小于 1.6 调整为二级不小于 1.2 和一级不小于 1.3，支撑斜杆由原来的 8 度不小于 1.4 和 9 度不小于 1.5 调整为二级不小于 1.3 和一级不小于 1.4。

8.2.5 本条是实现“强柱弱梁”抗震概念设计的基本要求。

1 轴压比较小时可不验算强柱弱梁。条文所要求的是按 2 倍的小震地震作用的地震组合得出的内力设计值，而不是取小震地震组合轴向力的 2 倍。

参考美国规定增加了梁端塑性铰外移的强柱弱梁验算公式。骨形连接(RBS)连接的塑性铰至柱面距离，参考 FEMA350 的规定，取 $(0.5 \sim 0.75)b_f + (0.65 \sim 0.85)h_b/2$ (其中， b_f 和 h_b 分别为梁翼缘宽度和梁截面高度)；梁端扩大型和加盖板的连接按日本规定，取净跨的 1/10 和梁高二者的较大值。强柱系数建议以 7 度($0.10g$)作为低烈度区分界，大致相当于 AISC 的等级 C，按 AISC 抗震规程，等级 B、C 是低烈度区，可不执行该标准规定的抗震构造措施。强柱系数实际上已隐含系数 1.15。本次修订，只是将强柱系数，按抗震等级作了相应的划分，基本维持了 2001 规范的数值。

2 关于节点域。日本规定节点板域尺寸自梁柱翼缘中心线算起，AISC 的节点域稳定公式规定自翼缘内侧算起。本次修订，拟取自翼缘中心线算起。

美国节点板域稳定公式为高度和宽度之和除以 90，历次修订此式未变；我国同济大学和哈尔滨工业大学做过试验，结果都是 1/70，考虑到试件板厚有一定限制，过去对高层用 1/90，对多层用 1/70。板的初始缺陷对平面内稳定影响较大，特别是板厚有限时，一次试验也难以得出可靠结果。考虑到该式一般不控制，本次修订拟统一采用美国的参数 1/90。

研究表明，节点域既不能太厚，也不能太薄，太厚了使节点域不能发挥其耗能作用，太薄了将使框架侧向位移太大，规范使用折减系数来设计。取 0.7 是参考日本研究结果采用。《高层民用建筑钢结构技术规程》JGJ 99—98 规定在 7 度时改用 0.6，是考虑到我国 7 度地区较大，可减少节点域加厚。日本第一阶段设计相当于我国 8 度；考虑 7 度可适当降低要求，所以按抗震等级划分拟就了系数。

当两侧梁不等高时，节点域剪应力计算公式可参阅《钢结构设计规范》管理组编著的《钢结构设计计算示例》p582页，中国计划出版社，2007年3月。

8.2.6 本条规定了支撑框架的验算。

1 考虑循环荷载时的强度降低系数，是高钢规编制时陈绍蕃教授提出的。考虑中心支撑长细比限值改动较大，拟保留此系数。

2 当人字支撑的腹杆在大震下受压屈曲后，其承载力将下降，导致横梁在支撑处出现向下的不平衡集中力，可能引起横梁破坏和楼板下陷，并在横梁两端出现塑性铰；此不平衡集中力取受拉支撑的竖向分量减去受压支撑屈曲压力竖向分量的30%。V形支撑情况类似，仅当斜杆失稳时楼板不是下陷而是向上隆起，不平衡力与前种情况相反。设计单位反映，考虑不平衡力后梁截面过大。条文中的建议是AISC抗震规程中针对此情况提出的，具有实用性，参见图20。

8.2.7 偏心支撑框架的设计计算，主要参考AISC于1997年颁布的《钢结构房屋抗震规程》并根据我国情况作了适当调整。

当消能梁段的轴力设计值不超过 $0.15Af$ 时，按AISC规定，忽略轴力影响，消能梁段的受剪承载力取腹板屈服时的剪力和梁段两端形成塑性铰时的剪力两者的较小值。本规范根据我国钢结构设计规范关于钢材拉、压、弯强度设计值与屈服强度的关系，取承载力抗震调整系数为1.0，计算结果与AISC相当；当轴力设计值超过 $0.15Af$ 时，则降低梁段的受剪承载力，以保证该梁段具有稳定的滞回性能。

为使支撑斜杆能承受消能梁段的梁端弯矩，支撑与梁段的连

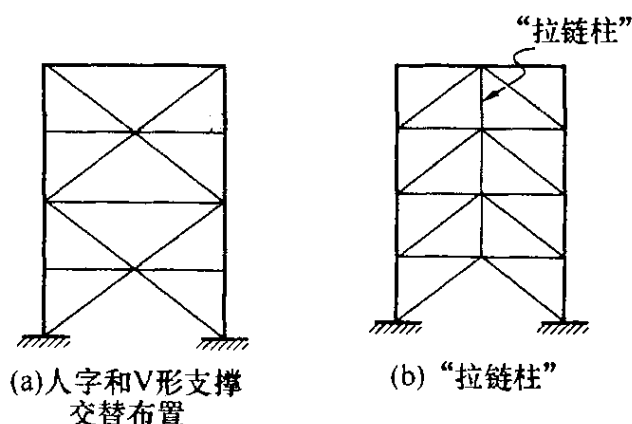


图20 人字支撑的布置

接应设计成刚接（图 21）。

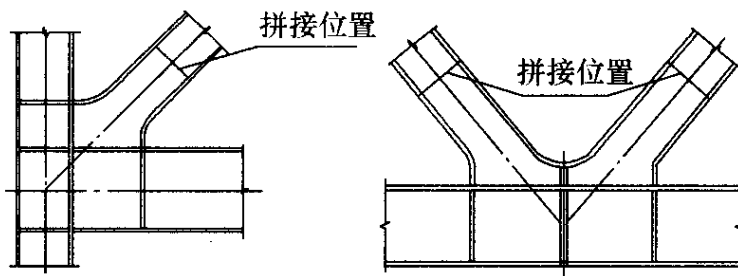


图 21 支撑端部刚接构造示意图

8.2.8 构件的连接，需符合强连接弱构件的原则。

1 需要对连接作二阶段设计。第一阶段，要求按构件承载力而不是设计内力进行连接计算，是考虑设计内力较小时将导致连接件型号和数量偏少，或焊缝的有效截面尺寸偏小，给第二阶段连接（极限承载力）设计带来困难。另外，高强度螺栓滑移对钢结构连接的弹性设计是不允许的。

2 框架梁一般为弯矩控制，剪力控制的情况很少，其设计剪力应采用与梁屈服弯矩相应的剪力，2001 规范规定采用腹板全截面屈服时的剪力，过于保守。另一方面，2001 规范用 1.3 替代 1.2 考虑竖向荷载往往偏小，故作了相应修改。采用系数 1.2，是考虑梁腹板的塑性变形小于翼缘的变形要求较多，当梁截面受剪力控制时，该系数宜适当加大。

3 钢结构连接系数修订，系参考日本建筑学会《钢结构连接设计指南》（2001/2006）的下列规定拟定。

母材牌号	梁端连接时		支撑连接/构件拼接		柱脚	
	母材破断	螺栓破断	母材破断	螺栓破断		
SS400	1.40	1.45	1.25	1.30	埋入式	1.2
SM490	1.35	1.40	1.20	1.25	外包式	1.2
SN400	1.30	1.35	1.15	1.20	外露式	1.0
SN490	1.25	1.30	1.10	1.15	—	—

注：螺栓是指高强度螺栓，极限承载力计算时按承压型连接考虑。

表中的连接系数包括了超强系数和应变硬化系数；SS 是碳素结构钢，SM 是焊接结构钢，SN 是抗震结构钢，其性能是逐步提高的。连接系数随钢种的性能提高而递减，也随钢材的强度等级递增而递减，是以钢材超强系数统计数据为依据的，而应变硬化系数各国普遍取 1.1。该文献说明，梁端连接的塑性变形要求最高，连接系数也最高，而支撑连接和构件拼接的塑性变形相对较小，故连接系数可取较低值。螺栓连接受滑移的影响，且钉孔使截面减弱，影响了承载力。美国和欧盟规范中，连接系数都没有这样细致的划分和规定。我国目前对建筑钢材的超强系数还没有作过统计，本规范表 8.2.8 是按上述文献 2006 版列出的，它比 2001 规范对螺栓破断的规定降低了 0.05。借鉴日本上述规定，将构件承载力抗震调整系数中的焊接连接和螺栓连接都取 0.75，连接系数在连接承载力计算表达式中统一考虑，有利于按不同情况区别对待，也有利于提高连接系数的直观性。对于 Q345 钢材，连接系数 $1.30 < f_u/f_y = 470/345 = 1.36$ ，解决了 2001 规范所规定综合连接系数偏高，材料强度不能充分利用的问题。另外，对于外露式柱脚，考虑在我国应用较多，适当提高抗震设计时的承载力是必要的，采用了 1.1 系数。本规范表 8.2.8 与日本规定相当接近。

8.3 钢框架结构的抗震构造措施

8.3.1 框架柱的长细比关系到钢结构的整体稳定。研究表明，钢结构高度加大时，轴力加大，竖向地震对框架柱的影响很大。本条规定与 2001 规范相比，高于 50m 时，7、8 度有所放松；低于 50m 时，8、9 度有所加严。

8.3.2 框架梁、柱板件宽厚比的规定，是以结构符合强柱弱梁为前提，考虑柱仅在后期出现少量塑性不需要很高的转动能力，综合美国和日本规定制定的。陈绍蕃教授指出，以轴压比 0.37 为界的 12 层以下梁腹板宽厚比限值的计算公式，适用于采用塑性内力重分布的连续组合梁负弯矩区，如果不考虑出现塑性铰后

的内力重分布，宽厚比限值可以放宽。据此，将 2001 规范对梁宽厚比限值中的 $(N_b/Af < 0.37)$ 和 $(N_b/Af \geq 0.37)$ 两个限值条件取消。考虑到按刚性楼盖分析时，得不出梁的轴力，但在进入弹塑性阶段时，上翼缘的负弯矩区楼板将退出工作，迫使钢梁翼缘承受一定轴力，不考虑是不安全的。注意到日本对梁腹板宽厚比限值的规定为 60 (65)，括号内为缓和值，不考虑轴力影响；AISC 341-05 规定，当梁腹板轴压比为 0.125 时其宽厚比限值为 75。据此，梁腹板宽厚比限值对一、二、三、四抗震等级分别取上限值 $(60, 65, 70, 75) \sqrt{235/f_{ay}}$ 。

本次修订按抗震等级划分后，12 层以下柱的板件宽厚比几乎不变，12 层以上有所放松：8 度由 10、43、35 放松为 11、45、36；7 度由 11、43、37 放松为 12、48、38；6 度由 13、43、39 放松为 13、52、40。

注意，从抗震设计的角度，对于板件宽厚比的要求，主要是地震下构件端部可能的塑性铰范围，非塑性铰范围的构件宽厚比可有所放宽。

8.3.3 当梁上翼缘与楼板有可靠连接时，简支梁可不设置侧向支承，固端梁下翼缘在梁端 0.15 倍梁跨附近宜设置隅撑。梁端采用梁端扩大、加盖板或骨形连接时，应在塑性区外设置竖向加劲肋，隅撑与偏置的竖向加劲肋相连。梁端翼缘宽度较大，对梁下翼缘侧向约束较大时，也可不设隅撑。朱聘儒著《钢-混凝土组合梁设计原理》（第二版）一书，对负弯矩区段组合梁钢部件的稳定性作了计算分析，指出负弯矩区段内的梁部件名义上虽是压弯构件，由于其截面轴压比较小，稳定问题不突出。李国强著《多高层建筑钢结构设计》第 203 页介绍了提供侧向约束的几种方法，也可供参考。首先验算钢梁受压区长细比 λ_y 是否满足：

$$\lambda_y \leq 60\sqrt{235/f_y}$$

若不满足可按图 22 所示方法设置侧向约束。

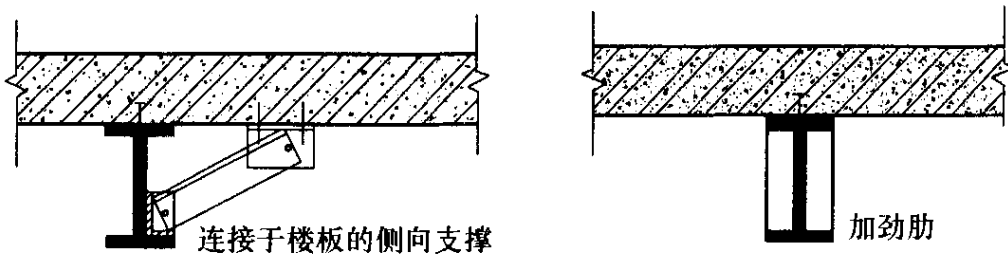


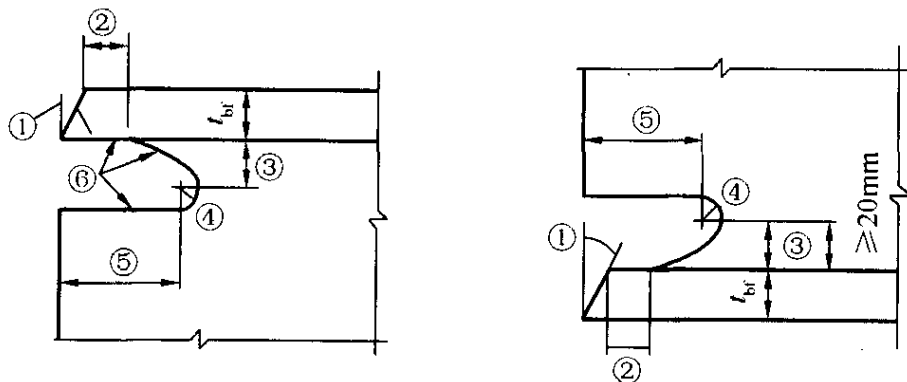
图 22 钢梁受压翼缘侧向约束

8.3.4 本条规定了梁柱连接构造要求。

1 电渣焊时壁板最小厚度 16mm，是征求日本焊接专家意见并得到国内钢结构制作专家的认同。贯通式隔板是和冷成形箱形柱配套使用的，柱边缘受拉时要求对其采用 Z 向钢制作，限于设备条件，目前我国应用不多，其构造要求可参见现行行业标准《高层民用建筑钢结构技术规程》JGJ 99。隔板厚度一般不宜小于翼缘厚度。

2 现场连接时焊接孔如规范条文图 8.3.4-1 所示，应严格按规定形状和尺寸用刀具加工。FEMA 中推荐的孔形如下（图 23），美国规定为必须采用之孔形。其最大应力不出现在腹板与翼缘连接处，香港学者做过有限元分析比较，认为是当前国际上最佳孔形，且与梁腹板连接方便。有条件时也可采用该焊接孔形。

3 日本规定腹板连接板 $t_w \leq 16m$ 时采用双面角焊缝，焊缝



说明：

- ① 坡口角度符合有关规定；② 翼缘厚度或 12mm, 取小者；
- ③ (1~0.75)倍翼缘厚度；④ 最小半径 19mm；⑤ 3 倍翼缘厚度(±12mm)；⑥ 表面平整。圆弧开口不大于 25°。

图 23 FEMA 推荐的焊接孔形

计算厚度取 5mm; t_w 大于 16mm 时用 K 形坡口对接焊缝, 端部均要求绕焊。美国将梁腹板连接板连接焊缝列为重点焊缝, 要求符合与翼缘焊缝同等的低温冲击韧性指标。本条不要求符合较高冲击韧性指标, 但要求用气保焊和板端绕焊。

4 日本普遍采用梁端扩大形, 不采用 RBS 形; 美国主要采用 RBS 形。RBS 形加工要求较高, 且需在关键截面削减部分钢材, 国内技术人员表示难以接受。现将二者都列出供选用。此外, 还有梁端用矩形加强板、加腋等形式加强的方案, 这里列入常用的四种形式 (图 24)。梁端扩大部分的直角边长比可取 1 : 2

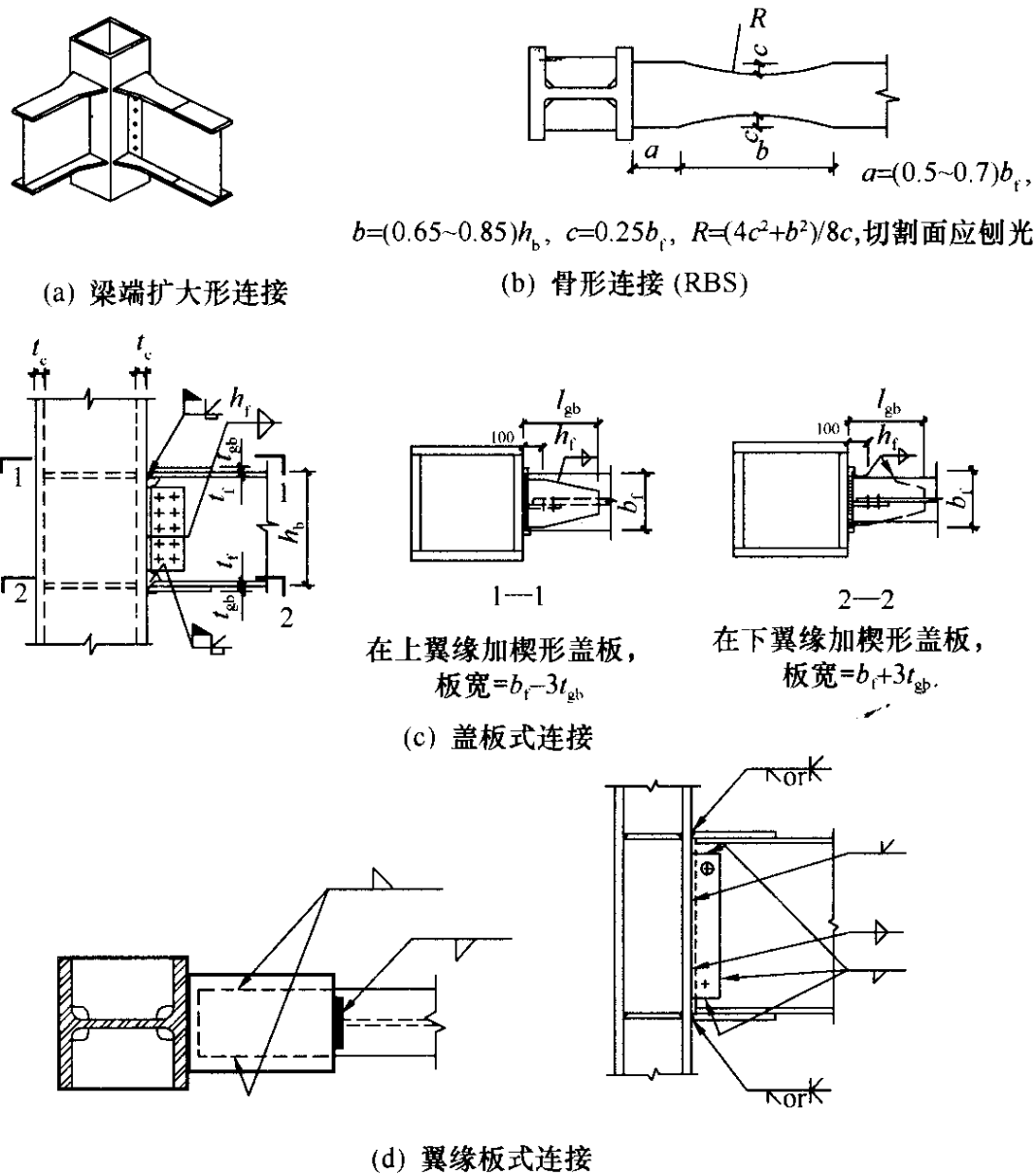


图 24 梁端扩大形连接、骨形连接、盖板式连接和翼缘板式连接

至 1:3。AISC 将 7 度 ($0.15g$) 及以上列入强震区，宜按此要求对梁端采用塑性铰外移构造。

5 日本在梁高小于 700mm 时，采用本规范图 8.3.4-2 的悬臂梁段式连接。

6 AISC 规定，隔板与柱壁板的连接，也可用角焊缝加强的双面部分熔透焊缝连接，但焊缝的承载力不应小于隔板与柱翼缘全截面连接时的承载力。

8.3.5 当节点域的体积不满足第 8.2.5 条有关规定时，参考日本规定和美国 AISC 钢结构抗震规程 1997 年版的规定，提出了加厚节点域和贴焊补强板的加强措施：

(1) 对焊接组合柱，宜加厚节点板，将柱腹板在节点域范围更换为较厚板件。加厚板件应伸出柱横向加劲肋之外各 150mm，并采用对接焊缝与柱腹板相连；

(2) 对轧制 H 形柱，可贴焊补强板加强。补强板上下边缘可不伸过横向加劲肋或伸过柱横向加劲肋之外各 150mm。当补强板不伸过横向加劲肋时，加劲肋应与柱腹板焊接，补强板与加劲肋之间的角焊缝应能传递补强板所分担的剪力，且厚度不小于 5mm；当补强板伸过加劲肋时，加劲肋仅与补强板焊接，此焊缝应能将加劲肋传来的力传递给补强板，补强板的厚度及其焊缝应按传递该力的要求设计。补强板侧边可采用角焊缝与柱翼缘相连，其板面尚应采用塞焊与柱腹板连成整体。塞焊点之间的距离，不应大于相连板件中较薄板件厚度的 $21\sqrt{235/f_y}$ 倍。

8.3.6 罕遇地震作用下，框架节点将进入塑性区，保证结构在塑性区的整体性是很必要的。参考国外关于高层钢结构的设计要求，提出相应规定。

8.3.7 本条规定主要考虑柱连接接头放在柱受力小的位置。本次修订增加了对净高小于 2.6m 柱的接头位置要求。

8.3.8 本条要求，对 8、9 度有所放松。外露式只能用于 6、7 度高度不超过 50m 的情况。

8.4 钢框架-中心支撑结构的抗震构造措施

8.4.1 本节规定了中心支撑框架的构造要求，主要用于高度 50m 以上的钢结构房屋。

AISC 341-05 抗震规程，特殊中心支撑框架和普通中心支撑框架的支撑长细比限值均规定不大于 $120\sqrt{235/f_y}$ 。本次修订作了相应修改。

本次修订，按抗震等级划分后，支撑板件宽厚限值也作了适当修改和补充。对 50m 以上房屋的工字形截面构件有所放松：9 度由 7, 21 放松为 8, 25；8 度时由 8, 23 放松为 9, 26；7 度时由 8, 23 放松为 10, 27；6 度时由 9, 25 放松为 13, 33。

8.4.2 美国规定，加速度 $0.15g$ 以上的地区，支撑框架结构的梁与柱连接不应采用铰接。考虑到双重抗侧力体系对高层建筑抗震很重要，且梁与柱铰接将使结构位移增大，故规定一、二、三级不应铰接。

支撑与节点板嵌固点保留一个小距离，可使节点板在大震时产生平面外屈曲，从而减轻对支撑的破坏，这是 AISC-97（补充）的规定，如图 25 所示。

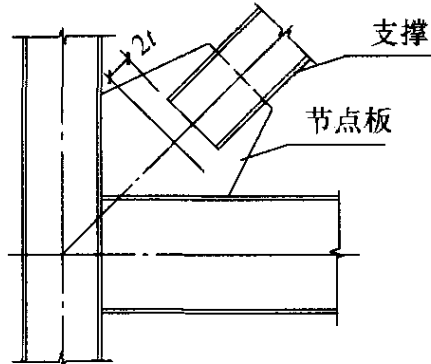


图 25 支撑端部节点板
的构造示意图

8.5 钢框架-偏心支撑结构的抗震构造措施

8.5.1 本节规定了保证消能梁段发挥作用的一系列构造要求。

为使消能梁段有良好的延性和消能能力，其钢材应采用 Q235、Q345 或 Q345GJ。

板件宽厚比参照 AISC 的规定作了适当调整。当梁上翼缘与楼板固定但不能表明其下翼缘侧向固定时，仍需设置侧向支撑。

8.5.3 为使消能梁段在反复荷载作用下具有良好的滞回性能，

需采取合适的构造并加强对腹板的约束：

1 支撑斜杆轴力的水平分量成为消能梁段的轴向力，当此轴向力较大时，除降低此梁段的受剪承载力外，还需减少该梁段的长度，以保证它具有良好的滞回性能。

2 由于腹板上贴焊的补强板不能进入弹塑性变形，因此不能采用补强板；腹板上开洞也会影响其弹塑性变形能力。

3 消能梁段与支撑斜杆的连接处，需设置与腹板等高的加劲肋，以传递梁段的剪力并防止梁腹板屈曲。

4 消能梁段腹板的中间加劲肋，需按梁段的长度区别对待，较短时为剪切屈服型，加劲肋间距小些；较长时为弯曲屈服型，需在距端部 1.5 倍的翼缘宽度处配置加劲肋；中等长度时需同时满足剪切屈服型和弯曲屈服型的要求。

偏心支撑的斜杆中心线与梁中心线的交点，一般在消能梁段的端部，也允许在消能梁段内，此时将产生与消能梁段端部弯矩方向相反的附加弯矩，从而减少消能梁段和支撑杆的弯矩，对抗震有利；但交点不应在消能梁段以外，因此时将增大支撑和消能梁段的弯矩，于抗震不利（图 26）。

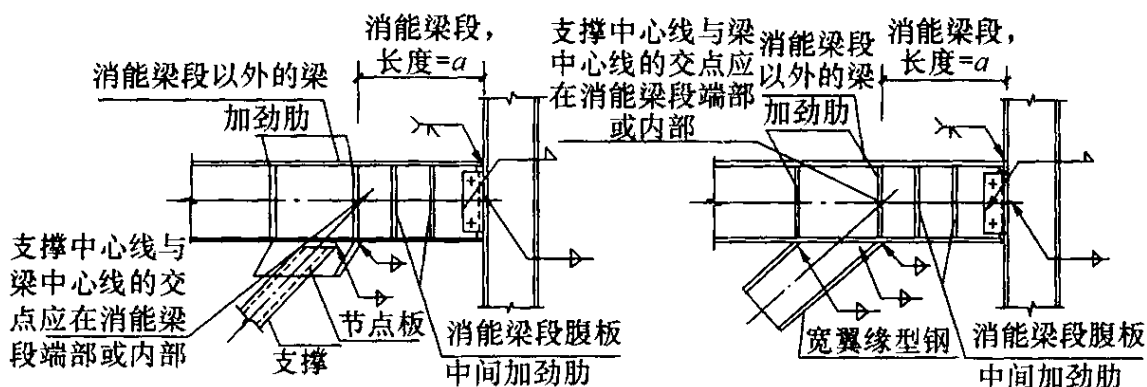


图 26 偏心支撑构造

8.5.5 消能梁段两端设置翼缘的侧向隅撑，是为了承受平面外扭转。

8.5.6 与消能梁段处于同一跨内的框架梁，同样承受轴力和弯矩，为保持其稳定，也需设置翼缘的侧向隅撑。

附录 G 钢支撑-混凝土框架和钢框架-钢筋混凝土核心筒结构房屋抗震设计要求

G. 1 钢支撑-钢筋混凝土框架

G. 1. 1 我国的钢支撑-混凝土框架结构，钢支撑承担较大的水平力，但不及抗震墙，其适用高度不宜超过框架结构和框剪结构二者最大适用高度的平均值。

本节的规定，除抗震等级外也可适用于房屋高度在混凝土框架结构最大适用高度内的情况。

G. 1. 2 由于房屋高度超过本规范第 6. 1. 1 条混凝土框架结构的最大适用高度，故参照框剪结构提高抗震等级。

G. 1. 3 本条规定了钢支撑-混凝土框架结构不同于钢支撑结构、混凝土框架结构的设计要求，主要参照混凝土框架-抗震墙结构的要求，将钢支撑框架在整个结构中的地位类比于混凝土框架-抗震墙结构中的抗震墙。

G. 1. 4 混合结构的阻尼比，取决于混凝土结构和钢结构在总变形能中所占比例的大小。采用振型分解反应谱法时，不同振型的阻尼比可能不同。当简化估算时，可取 0.045。

按照多道防线的概念设计，支撑是第一道防线，混凝土框架需适当增大按刚度分配的地震作用，可取两种模型计算的较大值。

G. 2 钢框架-钢筋混凝土核心筒结构

G. 2. 1 我国的钢框架-钢筋混凝土核心筒，由钢筋混凝土筒体承担主要水平力，其适用高度应低于高层钢结构而高于钢筋混凝土结构，参考《高层建筑混凝土结构技术规程》JGJ 3-2002 第 11 章的规定，其最大适用高度不大于二者的平均值。

G. 2. 2 本条抗震等级的划分，基本参照《高层建筑混凝土结构技术规程》JGJ 3-2002 的第 11 章和本规范第 6.1.2、8.1.3 条的规定。

G. 2. 3 本条规定了钢框架-钢筋混凝土核心筒结构体系设计中不同于混凝土结构、钢结构的一些基本要求：

1 近年来的试验和计算分析，对钢框架部分应承担的最小地震作用有些新的认识：框架部分承担一定比例的地震作用是非常重要的，如果钢框架部分按计算分配的地震剪力过少，则混凝土、筒体的受力状态和地震下的表现与普通钢筋混凝土结构几乎没有差别，甚至混凝土墙体更容易破坏。

清华大学土木系选择了一幢国内的钢框架-混凝土核心筒结构，变换其钢框架部分和混凝土核心筒的截面尺寸，并将它们进行不同组合，分析了共 20 个截面尺寸互不相同的结构方案，进行了在地震作用下的受力性能研究和比较，提出了钢框架部分剪力分担率的设计建议。

考虑钢框架-钢筋混凝土核心筒的总高度大于普通的钢筋混凝土框架-核心筒房屋，为给混凝土墙体留有一定的安全储备，规定钢框架按刚度分配的最小地震作用。当小于规定时，混凝土筒承担的地震作用和抗震构造均应适当提高。

2 钢框架柱的应力一般较高，而混凝土墙体大多由位移控制，墙的应力较低，而且两种材料弹性模量不等，此外，混凝土存在徐变和收缩，因此会使钢框架和混凝土筒体间存在较大变形。为了其差异变形不致使结构产生过大的附加内力，国外这类结构的楼盖梁大多两端都做成铰接。我国的习惯做法是，楼盖梁与周边框架刚接，但与钢筋混凝土墙体做成铰接，当墙体内设置连接用的构造型钢时，也可采用刚接。

3 试验表明，混凝土墙体与钢梁连接处存在局部弯矩及轴向力，但墙体平面外刚度较小，很容易出现裂缝；设置构造型钢有助于提高墙体的局部性能，也便于钢结构的安装。

4 底部或下部楼层用型钢混凝土柱，上部楼层用钢柱，可

提高结构刚度和节约钢材，是常见的做法。阪神地震表明，此时应避免刚度突变引起的破坏，设置过渡层使结构刚度逐渐变化，可以减缓此种效应。

5 要使钢框架与混凝土核心筒能协同工作，其楼板的刚度和大震作用下的整体性是十分重要的，本条要求其楼板应采用现浇实心板。

G.2.4 本条规定了抗震计算中，不同于钢筋混凝土结构的要求：

1 混合结构的阻尼比，取决于混凝土结构和钢结构在总变形能中所占比例的大小。采用振型分解反应谱法时，不同振型的阻尼比可能不同。必要时，可参照本规范第10章关于大跨空间钢结构与混凝土支座综合阻尼比的换算方法确定，当简化估算时，可取0.045。

2 根据多道抗震防线的要求，钢框架部分应按其刚度承担一定比例的楼层地震力。

按美国IBC 2006规定，凡在设计时考虑提供所需要的抵抗地震力的结构部件所组成的体系均为抗震结构体系。其中，由剪力墙和框架组成的结构有以下三类：①双重体系是“抗弯框架(moment frame)具有至少提供抵抗25%设计力(design forces)的能力，而总地震抗力由抗弯框架和剪力墙按其相对刚度的比例共同提供”；由中等抗弯框架和普通剪力墙组成的双重体系，其折减系数 $R=5.5$ ，不许用于加速度大于 $0.20g$ 的地区。②在剪力墙-框架协同体系中，“每个楼层的地震力均由墙体和框架按其相对刚度的比例并考虑协同工作共同承担”；其折减系数也是 $R=5.5$ ，但不许用于加速度大于 $0.13g$ 的地区。③当设计中不考虑框架部分承受地震力时，称为房屋框架(building frame)体系；对于普通剪力墙和建筑框架的体系，其折减系数 $R=5$ ，不许用于加速度大于 $0.20g$ 的地区。

关于双重体系中钢框架部分的剪力分担率要求，美国UBC85已经明确为“不少于所需侧向力的25%”，在UBC97是

“应能独立承受至少 25% 的设计基底剪力”。我国在 2001 抗震规范修订时，第 8 章多高层钢结构房屋的设计规定是“不小于钢框架部分最大楼层地震剪力的 1.8 倍和 25% 结构总地震剪力二者的较小值”。考虑到混凝土核心筒的刚度远大于支撑钢框架或钢筒体，参考混凝土核心筒结构的相关要求，本条规定调整后钢框架承担的剪力至少达到底部总剪力的 15%。

9 单层工业厂房

9.1 单层钢筋混凝土柱厂房

(I) 一般规定

9.1.1 本规范关于单层钢筋混凝土柱厂房的规定，系根据 20 世纪 60 年代以来装配式单层工业厂房的震害和工程经验总结得到的。因此，对于现浇的单层钢筋混凝土柱厂房，需注意本节针对装配式结构的某些规定不适用。

根据震害经验，厂房结构布置应注意的问题是：

1 历次地震的震害表明，不等高多跨厂房有高振型反应，不等长多跨厂房有扭转效应，破坏较重；均对抗震不利，故多跨厂房宜采用等高和等长。

2 地震的震害表明，单层厂房的毗邻建筑任意布置是不利的，在厂房纵墙与山墙交汇的角部是不允许布置的。在地震作用下，防震缝处排架柱的侧移量大，当有毗邻建筑时，相互碰撞或变位受约束的情况严重；地震中有不少倒塌、严重破坏等加重震害的震例，因此，在防震缝附近不宜布置毗邻建筑。

3 大柱网厂房和其他不设柱间支撑的厂房，在地震作用下侧移量较设置柱间支撑的厂房大，防震缝的宽度需适当加大。

4 地震作用下，相邻两个独立的主厂房的振动变形可能不同步协调，与之相连接的过渡跨的屋盖常倒塌破坏；为此过渡跨至少应有一侧采用防震缝与主厂房脱开。

5 上吊车的铁梯，晚间停放吊车时，增大该处排架侧移刚度，加大地震反应，特别是多跨厂房各跨上吊车的铁梯集中在同一横向轴线时，会导致震害破坏，应避免。

6 工作平台或刚性内隔墙与厂房主体结构连接时，改变了

主体结构的工作性状，加大地震反应；导致应力集中，可能造成短柱效应，不仅影响排架柱，还可能涉及柱顶的连接和相邻的屋盖结构，计算和加强措施均较困难，故以脱开为佳。

7 不同形式的结构，振动特性不同，材料强度不同，侧移刚度不同。在地震作用下，往往由于荷载、位移、强度的不均衡，而造成结构破坏。山墙承重和中间有横墙承重的单层钢筋混凝土柱厂房和端砖壁承重的天窗架，在地震中均有较重破坏，为此，厂房的一个结构单元内，不宜采用不同的结构形式。

8 两侧为嵌砌墙，中柱列设柱间支撑；一侧为外贴墙或嵌砌墙，另一侧为开敞；一侧为嵌砌墙，另一侧为外贴墙等各柱列纵向刚度严重不均匀的厂房，由于各柱列的地震作用分配不均匀，变形不协调，常导致柱列和屋盖的纵向破坏，在 7 度区就有这种震害反映，在 8 度和大于 8 度区，破坏就更普遍且严重，不少厂房柱倒屋塌，在设计中应予以避免。

9.1.2 根据震害经验，天窗架的设置应注意下列问题：

1 突出屋面的天窗架对厂房的抗震带来很不利的影响，因此，宜采用突出屋面较小的避风型天窗。采用下沉式天窗的屋盖有良好的抗震性能，唐山地震中甚至经受了 10 度地震的考验，不仅是 8 度区，有条件时均可采用。

2 第二开间起开设天窗，将使端开间每块屋面板与屋架无法焊接或焊连的可靠性大大降低而导致地震时掉落，同时也大大降低屋面纵向水平刚度。所以，如果山墙能够开窗，或者采光要求不太高时，天窗从第三开间起设置。

天窗架从厂房单元端第三柱间开始设置，虽增强屋面纵向水平刚度，但对建筑通风、采光不利，考虑到 6 度和 7 度区的地震作用效应较小，且很少有屋盖破坏的震例，本次修订改为对 6 度和 7 度区不做此要求。

3 历次地震经验表明，不仅是天窗屋盖和端壁板，就是天窗侧板也宜采用轻型板材。

9.1.3 根据震害经验，房屋盖结构的设置应注意下列问题：

1 轻型大型屋面板无檩屋盖和钢筋混凝土有檩屋盖的抗震性能好，经过 8~10 度强烈地震考验，有条件时可采用。

2 唐山地震震害统计分析表明，屋盖的震害破坏程度与屋盖承重结构的形式密切相关，根据 8~11 度地震的震害调查统计发现：梯形屋架屋盖共调查 91 跨，全部或大部倒塌 41 跨，部分或局部倒塌 11 跨，共计 52 跨，占 56.7%；拱形屋架屋盖共调查 151 跨，全部或大部倒塌 13 跨，部分或局部倒塌 16 跨，共计 29 跨，占 19.2%；屋面梁屋盖共调查 168 跨，全部或大部倒塌 11 跨，部分或局部倒塌 17 跨，共计 28 跨，占 16.7%。

另外，采用下沉式屋架的屋盖，经 8~10 度强烈地震的考验，没有破坏的震例。为此，提出厂房宜采用低重心的屋盖承重结构。

3 拼块式的预应力混凝土和钢筋混凝土屋架（屋面梁）的结构整体性差，在唐山地震中其破坏率和破坏程度均较整榀式重得多。因此，在地震区不宜采用。

4 预应力混凝土和钢筋混凝土空腹桁架的腹杆及其上弦节点均较薄弱，在天窗两侧竖向支撑的附加地震作用下，容易产生节点破坏、腹杆折断的严重破坏，因此，不宜采用有突出屋面天窗架的空腹桁架屋盖。

5 随着经济的发展，组合屋架已很少采用，本次修订继续保持 89 规范、2001 规范的规定，不列入这种屋架的规定。

本次修订，根据震害经验，建议在高烈度（8 度 0.30g 和 9 度）且跨度大于 24m 的厂房，不采用重量大的大型屋面板。

9.1.4 不开孔的薄壁工字形柱、腹板开孔的普通工字形柱以及管柱，均存在抗震薄弱环节，故规定不宜采用。

(II) 计 算 要 点

9.1.7、9.1.8 对厂房的纵横向抗震分析，本规范明确规定，一般情况下，采用多质点空间结构分析方法。

关于横向计算：

当符合本规范附录J的条件时可采用平面排架简化方法，但计算所得的排架地震内力应考虑各种效应调整。本规范附录J的调整系数有以下特点：

1 适用于7~8度柱顶标高不超过15m且砖墙刚度较大等情况的厂房，9度时砖墙开裂严重，空间工作影响明显减弱，一般不考虑调整。

2 计算地震作用时，采用经过调整的排架计算周期。

3 调整系数采用了考虑屋盖平面内剪切刚度、扭转和砖墙开裂后刚度下降影响的空间模型，用振型分解法进行分析，取不同屋盖类型、各种山墙间距、各种厂房跨度、高度和单元长度，得出了统计规律，给出了较为合理的调整系数。因排架计算周期偏长，地震作用偏小，当山墙间距较大或仅一端有山墙时，按排架分析的地震内力需要增大而不是减小。对一端山墙的厂房，所考虑的排架一般指无山墙端的第二榀，而不是端榀。

4 研究发现，对不等高厂房高低跨交接处支承低跨屋盖牛腿以上的中柱截面，其地震作用效应的调整系数随高、低跨屋盖重力的比值是线性下降，要由公式计算。公式中的空间工作影响系数与其他各截面（包括上述中柱的下柱截面）的作用效应调整系数含义不同，分别列于不同的表格，要避免混淆。

5 地震中，吊车桥架造成了厂房局部的严重破坏。为此，把吊车桥架作为移动质点，进行了大量的多质点空间结构分析，并与平面排架简化分析比较，得出其放大系数。使用时，只乘以吊车桥架重力荷载在吊车梁顶标高处产生的地震作用，而不乘以截面的总地震作用。

关于纵向计算：

历次地震，特别是海城、唐山地震，厂房沿纵向发生破坏的例子很多，而且中柱列的破坏普遍比边柱列严重得多。在计算分析和震害总结的基础上，规范提出了厂房纵向抗震计算原则和简化方法。

钢筋混凝土屋盖厂房的纵向抗震计算，要考虑围护墙有效刚

度、强度和屋盖的变形，采用空间分析模型。本规范附录 K 第 K.1 节的实用计算方法，仅适用于柱顶标高不超过 15m 且有纵向砖围护墙的等高厂房，是选取多种简化方法与空间分析计算结果比较而得到的。其中，要用经验公式计算基本周期。考虑到随着烈度的提高，厂房纵向侧移加大，围护墙开裂加重，刚度降低明显，故一般情况，围护墙的有效刚度折减系数，在 7、8、9 度时可近似取 0.6、0.4 和 0.2。不等高和纵向不对称厂房，还需考虑厂房扭转的影响，尚无合适的简化方法。

9.1.9、9.1.10 地震震害表明，没有考虑抗震设防的一般钢筋混凝土天窗架，其横向受损并不明显，而纵向破坏却相当普遍。计算分析表明，常用的钢筋混凝土带斜腹杆的天窗架，横向刚度很大，基本上随屋盖平移，可以直接采用底部剪力法的计算结果，但纵向则要按跨数和位置调整。

有斜撑杆的三铰拱式钢天窗架的横向刚度也较房屋屋盖的横向刚度大很多，也是基本上随屋盖平移，故其横向抗震计算方法可与混凝土天窗架一样采用底部剪力法。由于钢天窗架的强度和延性优于混凝土天窗架，且可靠度高，故当跨度大于 9m 或 9 度时，钢天窗架的地震作用效应不必乘以增大系数 1.5。

本规范明确关于突出屋面天窗架简化计算的适用范围为有斜杆的三铰拱式天窗架，避免与其他桁架式天窗架混淆。

对于天窗架的纵向抗震分析，继续保持 89 规范的相关规定。

9.1.11 关于大柱网厂房的双向水平地震作用，89 规范规定取一个主轴方向 100% 加上相应垂直方向的 30% 的不利组合，相当于两个方向的地震作用效应完全相同时按本规范 5.2 节规定计算的结果，因此是一种略偏安全的简化方法。为避免与本规范 5.2 节的规定不协调，保持 2001 规范的规定，不再专门列出。

位移引起的附加弯矩，即“ $P-\Delta$ ”效应，按本规范 3.6 节的规定计算。

9.1.12 不等高厂房支承低跨屋盖的柱牛腿在地震作用下开裂较多，甚至牛腿面预埋板向外位移破坏。在重力荷载和水平地震作

用下的柱牛腿纵向水平受拉钢筋的计算公式，第一项为承受重力荷载纵向钢筋的计算，第二项为承受水平拉力纵向钢筋的计算。

9.1.13 震害和试验研究表明：交叉支撑杆件的最大长细比小于 200 时，斜拉杆和斜压杆在支撑桁架中是共同工作的。支撑中的最大作用相当于单压杆的临界状态值。据此，在本规范的附录 K 第 K.2 节中规定了柱间支撑的设计原则和简化方法：

1 支撑侧移的计算：按剪切构件考虑，支撑任一点的侧移等于该点以下各节间相对侧移值的叠加。它可用以确定厂房纵向柱列的侧移刚度及上、下支撑地震作用的分配。

2 支撑斜杆抗震验算：试验结果发现，支撑的水平承载力，相当于拉杆承载力与压杆承载力乘以折减系数之和的水平分量。此折减系数即本规范附录 K 中的“压杆卸载系数”，可以线性内插；亦可直接用下列公式确定斜拉杆的净截面 A_n ：

$$A_n \geq \gamma_{RE} l_i V_{bi} / [(1 + \psi_c \phi_i) s_c f_{at}]$$

3 震害表明，单层钢筋混凝土柱厂房的柱间支撑虽有一定数量的破坏，但这些厂房大多数未考虑抗震设防。据计算分析，抗震验算的柱间支撑斜杆内力大于非抗震设计时的内力几倍。

4 柱间支撑与柱的连接节点在地震反复荷载作用下承受拉弯剪和压弯剪，试验表明其承载力比单调荷载作用下有所降低；在抗震安全性综合分析基础上，提出了确定预埋板钢筋截面面积的计算公式，适用于符合本规范第 9.1.25 条 5 款构造规定的情况。

5 提出了柱间支撑节点预埋件采用角钢时的验算方法。

本规范第 9.1.23 条对下柱柱间支撑的下节点位置有明确的规定，一般将节点位置置于基础顶标高处。6、7 度时地震力较小，采取加强措施后可设在基础顶面以上；本次修订明确，必要时也可沿纵向柱列进行柱根的斜截面受剪承载力验算来确定加强措施。

9.1.14 本条规定了与厂房次要构件有关的计算。

1 地震震害表明：8 度和 9 度区，不少抗风柱的上柱和下

柱根部开裂、折断，导致山尖墙倒塌，严重的抗风柱连同山墙全部向外倾倒、抗风柱虽非单层厂房的主要承重构件，但它却是厂房纵向抗震中的重要构件，对保证厂房的纵向抗震安全，具有不可忽视的作用，补充规定 8、9 度时需进行平面外的截面抗震验算。

2 当抗风柱与屋架下弦相连接时，虽然此类厂房均在厂房两端第一开间设置下弦横向支撑，但当厂房遭到地震作用时，高大山墙引起的纵向水平地震作用具有较大的数值，由于阶形抗风柱的下柱刚度远大于上柱刚度，大部分水平地震作用将通过下柱的上端连接传至屋架下弦，但屋架下弦支撑的强度和刚度往往不能满足要求，从而导致屋架下弦支撑杆件压曲。1966 年邢台地震 6 度区、1975 年海城地震 8 度区均出现过这种震害。故要求进行相应的抗震验算。

3 当工作平台、刚性内隔墙与厂房主体结构相连时，将提高排架的侧移刚度，改变其动力特性，加大地震作用，还可能造成应力和变形集中，加重厂房的震害。地震中由此造成排架柱折断或屋盖倒塌，其严重程度因具体条件而异，很难作出统一规定。因此抗震计算时，需采用符合实际的结构计算简图，并采取相应的措施。

4 震害表明，上弦有小立柱的拱形和折线形屋架及上弦节间长和节间矢高较大的屋架，在地震作用下屋架上弦将产生附加扭矩，导致屋架上弦破坏。为此，8、9 度在这种情况下需进行截面抗扭验算。

(Ⅲ) 构造措施

9.1.15 本节所指有檩屋盖，主要是波形瓦（包括石棉瓦及槽瓦）屋盖。这类屋盖只要设置保证整体刚度的支撑体系，屋面瓦与檩条间以及檩条与屋架间有牢固的拉结，一般均具有一定的抗震能力，甚至在唐山 10 度地震区也基本完好地保存下来。但是，如果屋面瓦与檩条或檩条与屋架拉结不牢，在 7 度地震区也会出

现严重震害，海城地震和唐山地震中均有这种例子。

89 规范对有檩屋盖的规定，系针对钢筋混凝土体系而言。2001 规范增加了对钢结构有檩体系的要求。本次修订，未作修改。

9.1.16 无檩屋盖指的是各类不用檩条的钢筋混凝土屋面板与屋架（梁）组成的屋盖。屋盖的各构件相互间联成整体是厂房抗震的重要保证，这是根据唐山、海城震害经验提出的总要求。鉴于我国目前仍大量采用钢筋混凝土大型屋面板，故重点对大型屋面板与屋架（梁）焊连的屋盖体系作了具体规定。

这些规定中，屋面板和屋架（梁）可靠焊连是第一道防线，为保证焊连强度，要求屋面板端头底面预埋板和屋架端部顶面预埋件均应加强锚固；相邻屋面板吊钩或四角顶面预埋铁件间的焊连是第二道防线；当制作非标准屋面板时，也应采取相应的措施。

设置屋盖支撑是保证屋盖整体性的重要抗震措施，基本沿用了 89 规范的规定。

根据震害经验，8 度区天窗跨度等于或大于 9m 和 9 度区天窗架宜设置上弦横向支撑。

9.1.17 本规范在进一步总结地震经验的基础上，对有檩和无檩屋盖支撑布置的规定作适当的补充。

9.1.18 唐山地震震害表明，采用刚性焊连构造时，天窗立柱普遍在下挡和侧板连接处出现开裂和破坏，甚至倒塌，刚性连接仅在支撑很强的情况下才是可行的措施，故规定一般单层厂房宜用螺栓连接。

9.1.19 屋架端竖杆和第一节间上弦杆，静力分析中常作为非受力杆件而采用构造配筋，截面受弯、受剪承载力不足，需适当加强。对折线形屋架为调整屋面坡度而在端节间上弦顶面设置的小立柱，也要适当增大配筋和加密箍筋。以提高其拉弯剪能力。

9.1.20 根据震害经验，排架柱的抗震构造，增加了箍筋肢距的要求，并提高了角柱柱头的箍筋构造要求。

1 柱子在变位受约束的部位容易出现剪切破坏，要增加箍筋。变位受约束的部位包括：设有柱间支撑的部位、嵌砌内隔墙、侧边贴建披屋、靠山墙的角柱、平台连接处等。

2 唐山地震震害表明：当排架柱的变位受平台，刚性横隔墙等约束，其影响的严重程度和部位，因约束条件而异，有的仅在约束部位的柱身出现裂缝；有的造成屋架上弦折断、屋盖坍落（如天津拖拉机厂冲压车间）；有的导致柱头和连接破坏屋盖倒塌（如天津第一机床厂铸工车间配砂间）。必须区别情况从设计计算和构造上采取相应的有效措施，不能统一采用局部加强排架柱的箍筋，如高低跨柱的上柱的剪跨比较小时就应全高加密箍筋，并加强柱头与屋架的连接。

3 为了保证排架柱箍筋加密区的延性和抗剪强度，除箍筋的最小直径和最大间距外，增加对箍筋最大肢距的要求。

4 在地震作用下，排架柱的柱头由于构造上的原因，不是完全的铰接；而是处于压弯剪的复杂受力状态，在高烈度地区，这种情况更为严重，排架柱头破坏较重，加密区的箍筋直径需适当加大。

5 厂房角柱的柱头处于双向地震作用，侧向变形受约束和压弯剪的复杂受力状态，其抗震强度和延性较中间排架柱头弱得多，地震中，6度区就有角柱顶开裂的破坏；8度和大于8度时，震害就更多，严重的柱头折断，端屋架塌落，为此，厂房角柱的柱头加密箍筋宜提高一度配置。

6 本次修订，增加了柱侧向受约束且剪跨比不大于2的排架柱柱顶的构造要求。

9.1.21 大柱网厂房的抗震性能是唐山地震中发现的新问题，其震害特征是：①柱根出现对角破坏，混凝土酥碎剥落，纵筋压曲，说明主要是纵、横两个方向或斜向地震作用的影响，柱根的强度和延性不足；②中柱的破坏率和破坏程度均大于边柱，说明与柱的轴压比有关。

本次修订，保持了2001规范对大柱网厂房的抗震验算规定，

包括轴压比和相应的箍筋构造要求。其中的轴压比限值，考虑到柱子承受双向压弯剪和 $P-\Delta$ 效应的影响，受力复杂，参照了钢筋混凝土框支柱的要求，以保证延性；大柱网厂房柱仅承受屋盖（包括屋面、屋架、托架、悬挂吊车）和柱的自重，尚不致因控制轴压比而给设计带来困难。

9.1.22 对抗风柱，除了提出验算要求外，还提出纵筋和箍筋的构造规定。

地震中，抗风柱的柱头和上、下柱的根部都有产生裂缝、甚至折断的震害，另外，柱肩产生劈裂的情况也不少。为此，柱头和上、下柱根部需加强箍筋的配置，并在柱肩处设置纵向受拉钢筋，以提高其抗震能力。

9.1.23 柱间支撑的抗震构造，本次修订基本保持 2001 规范对 89 规范的改进：

①支撑杆件的长细比限值随烈度和场地类别而变化；本次修订，调整了 8、9 度下柱支撑的长细比要求；②进一步明确了支撑柱子连接节点的位置和相应的构造；③增加了关于交叉支撑节点板及其连接的构造要求。

柱间支撑是单层钢筋混凝土柱厂房的纵向主要抗侧力构件，当厂房单元较长或 8 度Ⅲ、Ⅳ类场地和 9 度时，纵向地震作用效应较大，设置一道下柱支撑不能满足要求时，可设置两道下柱支撑，但应注意：两道下柱支撑宜设置在厂房单元中间三分之一区段内，不宜设置在厂房单元的两端，以避免温度应力过大；在满足工艺条件的前提下，两者靠近设置时，温度应力小；在厂房单元中部三分之一区段内，适当拉开设置则有利于缩短地震作用的传递路线，设计中可根据具体情况确定。

交叉式柱间支撑的侧移刚度大，对保证单层钢筋混凝土柱厂房在纵向地震作用下的稳定性有良好的效果，但在与下柱连接的节点处理时，会遇到一些困难。

9.1.25 本条规定厂房各构件连接节点的要求，具体贯彻了本规范第 3.5 节的原则规定，包括屋架与柱的连接，柱顶锚件；抗风

柱、牛腿（柱肩）、柱与柱间支撑连接处的预埋件：

1 柱顶与屋架采用钢板铰，在原苏联的地震中经受了考验，效果较好；建议在 9 度时采用。

2 为加强柱牛腿（柱肩）预埋板的锚固，要把相当于承受水平拉力的纵向钢筋（即本节第 9.1.12 公式中的第 2 项）与预埋板焊连。

3 在设置柱间支撑的截面处（包括柱顶、柱底等），为加强锚固，发挥支撑的作用，提出了节点预埋件采用角钢加端板锚固的要求，埋板与锚件的焊接，通常用埋弧焊或开锥形孔塞焊。

4 抗风柱的柱顶与屋架上弦的连接节点，要具有传递纵向水平地震力的承载力和延性。抗风柱顶与屋架（屋面梁）上弦可靠连接，不仅保证抗风柱的强度和稳定，同时也保证山墙产生的纵向地震作用的可靠传递，但连接点必须在上弦横向支撑与屋架的连接点，否则将使屋架上弦产生附加的节间平面外弯矩。由于现在的预应力混凝土和钢筋混凝土屋架，一般均不符合抗风柱布置间距的要求，故补充规定以引起注意，当遇到这种情况时，可以采用在屋架横向支撑中加设次腹杆或型钢横梁，使抗风柱顶的水平力传递至上弦横向支撑的节点。

9.2 单层钢结构厂房

(I) 一般规定

9.2.1 国内外的多次地震经验表明，钢结构的抗震性能一般比其他结构的要好。总体上说，单层钢结构厂房在地震中破坏较轻，但也有损坏或坍塌的。因此，单层钢结构厂房进行抗震设防是必要的。

本次修订，仍不包括轻型钢结构厂房。

9.2.2 从单层钢结构厂房的震害实例分析，在 7~9 度的地震作用下，其主要震害是柱间支撑的失稳变形和连接节点的断裂或拉脱，柱脚锚栓剪断和拉断，以及锚栓锚固过短所致的拔出破坏。

亦有少量厂房的屋盖支撑杆件失稳变形或连接节点板开裂破坏。

9.2.3 原则上，单层钢结构厂房的平面、竖向布置的抗震设计要求，是使结构的质量和刚度分布均匀，厂房受力合理、变形协调。

钢结构厂房的侧向刚度小于混凝土柱厂房，其防震缝缝宽要大于混凝土柱厂房。当设防烈度高或厂房较高时，或当厂房坐落在较软弱场地土或有明显扭转效应时，尚需适当增加。

(II) 抗震验算

9.2.5 通常设计时，单层钢结构厂房的阻尼比与混凝土柱厂房相同。本次修订，考虑到轻型围护的单层钢结构厂房，在弹性状态工作的阻尼比较小，根据单层、多层到高层钢结构房屋的阻尼比由大到小变化的规律，建议阻尼比按屋盖和围护墙的类型区别对待。

9.2.6 本条保持 2001 规范的规定。单层钢结构厂房的围护墙类型较多。围护墙的自重和刚度主要由其类型、与厂房柱的连接所决定。因此，为使厂房的抗震计算更符合实际情况、更合理，其自重和刚度取值应结合所采用的围护墙类型、与厂房柱的连接方式来决定。对于与柱贴砌的普通砖墙围护厂房，除需考虑墙体的侧移刚度外，尚应考虑墙体开裂而对其侧移刚度退化的影响。当为外贴式砖砌纵墙，7、8、9 度设防时，其等效系数分别可取 0.6、0.4、0.2。

9.2.7、9.2.8 单层钢结构厂房的地震作用计算，应根据厂房的竖向布置（等高或不等高）、起重机设置、屋盖类别等情况，采用能反映出厂房地震反应特点的单质点、两质点和多质点的计算模型。总体上，单层钢结构厂房地震作用计算的单元划分、质量集中等，可参照钢筋混凝土柱厂房的执行。但对于不等高单层钢结构厂房，不能采用底部剪力法计算，而应采用多质点模型振型分解反应谱法计算。

轻型墙板通过墙架构件与厂房框架柱连接，预制混凝土大型

墙板可与厂房框架柱柔性连接。这些围护墙类型和连接方式对框架柱纵向侧移的影响较小。亦即，当各柱列的刚度基本相同时，其纵向柱列的变位亦基本相同。因此，等高单跨或多跨厂房的纵向抗震计算时，对无檩屋盖可按柱列刚度分配；对有檩屋盖可按柱列所承受的重力荷载代表值比例分配和按单柱列计算，并取两者之较大值。而当采用与柱贴砌的砖围护墙时，其纵向抗震计算与混凝土柱厂房的基本相同。

按底部剪力法计算纵向柱列的水平地震作用时，所得的中间柱列纵向基本周期偏长，可利用周期折减系数予以修正。

单层钢结构厂房纵向主要由柱间支撑抵抗水平地震作用，是震害多发部位。在地震作用下，柱间支撑可能屈曲，也可能不屈曲。柱间支撑处于屈曲状态或者不屈曲状态，对与支撑相连的框架柱的受力差异较大，因此需针对支撑杆件是否屈曲的两种状态，分别验算设置支撑的纵向柱列的受力。当然，目前采用轻型围护结构的单层钢结构厂房，在风荷载较大时，7、8度的柱间支撑杆件在7、8度也可处于不屈曲状态。这种情况可不进行支撑屈曲后状态的验算。

9.2.9 屋盖的竖向支承桁架可包括支承天窗架的竖向桁架、竖向支撑桁架等。屋盖竖向支承桁架承受的作用力包括屋盖自重产生的地震力，尚需将其传递给主框架，故其杆件截面需由计算确定。

屋盖水平支撑交叉斜杆，在地震作用下，考虑受压斜杆失稳而需按拉杆设计，故其连接的承载力不应小于支撑杆的全塑性承载力。条文参考上海市的规定给出。

参照冶金部门的规定，支承跨度大于24m屋面横梁的托架系直接传递地震竖向作用的构件，应考虑屋架传来的竖向地震作用。

对于厂房屋面设置荷重较大的设备等情况，不论厂房跨度大小，都应对屋盖横梁进行竖向地震作用验算。

9.2.10 单层钢结构厂房的柱间支撑一般采用中心支撑。X形柱

间支撑用料省，抗震性能好，应首先考虑采用。但单层钢结构厂房的柱距，往往比单层混凝土柱厂房的基本柱距（6m）要大几倍，V 或 Λ 形也是常用的几种柱间支撑形式，下柱柱间支撑也有用单斜杆的。

支撑杆件屈曲后状态支撑框架按本规范第 5 章的规定进行抗震验算。本条卸载系数主要依据日本、美国的资料导出，与附录 K 第 K.2 节对我国混凝土柱厂房柱间支撑规定的卸载系数有所不同。但同样适用于支撑杆件长细比大于 $60\sqrt{235/f_y}$ 的情况，长细比大于 200 时不考虑压杆卸载影响。

与 V 或 Λ 形支撑相连的横梁，除了轻型围护结构的厂房满足设防地震下不屈曲的支撑外，通常需要按本规范第 8.2.6 条计入支撑屈曲后的不平衡力的影响。即横梁截面 A_{br} 满足：

$$M_{bp,N} \geq \frac{1}{4} S_c \sin\theta (1 - 0.3\varphi_i) A_{br} f / \gamma_{RE}$$

式中： $M_{bp,N}$ ——考虑轴力作用的横梁全截面塑性抗弯承载力；
 S_c ——支撑所在柱间的净距。

9.2.11 设计经验表明，跨度不很大的轻型屋盖钢结构厂房，如仅从新建的一次投资比较，采用实腹屋面梁的造价略比采用屋架的高些。但实腹屋面梁制作简便，厂房施工期和使用期的涂装、维护量小而方便，且质量好、进度快。如按厂房全寿命的支出比较，这些跨度不很大的厂房采用实腹屋面梁比采用屋架要合理一些。实腹屋面梁一般与柱刚性连接。这种刚架结构应用日益广泛。

1 受运输条件限制，较高厂房柱有时需在上柱拼接接长。条文给出的拼接承载力要求是最小要求，有条件时可采用等强度拼接接长。

2 梁柱刚性连接、拼接的极限承载力验算及相应的构造措施（如潜在塑性铰位置的侧向支承），应针对单层刚架厂房的受力特征和遭遇强震时可能形成的极限机构进行。一般情况下，单跨横向刚架的最大应力区在梁底上柱截面，多跨横向刚架在中间

柱列处也可出现在梁端截面。这是钢结构单层刚架厂房的特征。柱顶和柱底出现塑性铰是单层刚架厂房的极限承载力状态之一，故可放弃“强柱弱梁”的抗震概念。

条文中的刚架梁端的最大应力区，可按距梁端 $1/10$ 梁净跨和 1.5 倍梁高中的较大值确定。实际工程中，受构件运输条件限制，梁的现场拼接往往在梁端附近，即最大应力区，此时，其极限承载力验算应与梁柱刚性连接的相同。

(Ⅲ) 抗震构造措施

9.2.12 屋盖支撑系统（包括系杆）的布置和构造应满足的主要功能是：保证屋盖的整体性（主要指屋盖各构件之间不错位）和屋盖横梁平面外的稳定性，保证屋盖和山墙水平地震作用传递路线的合理、简捷，且不中断。本次修订，针对钢结构厂房的特点规定了不同于钢筋混凝土柱厂房的屋盖支撑布置要求：

1 一般情况下，屋盖横向支撑应对应于上柱柱间支撑布置，故其间距取决于柱间支撑间距。表 9.2.12 屋盖横向支撑间距限值可按本节第 9.2.15 条的柱间支撑间距限值执行。

2 无檩屋盖（重型屋盖）是指通用的 $1.5m \times 6.0m$ 预制大型屋面板。大型屋面板与屋架的连接需保证三个角点牢固焊接，才能起到上弦水平支撑的作用。

屋架的主要横向支撑应设置在传递厂房框架支座反力的平面内。即，当屋架为端斜杆上承式时，应以上弦横向支撑为主；当屋架为端斜杆下承式时，以下弦横向支撑为主。当主要横向支撑设置在屋架的下弦平面区间内时，宜对应地设置上弦横向支撑；当采用以上弦横向支撑为主的屋架区间内时，一般可不设置对应的下弦横向支撑。

3 有檩屋盖（轻型屋盖）主要是指彩色涂层压形钢板、硬质金属面夹芯板等轻型板材和高频焊接薄壁型钢檩条组成的屋盖。在轻型屋盖中，高频焊接薄壁型钢等型钢檩条一般都可兼作上弦系杆，故在表 9.2.12 中未列入。

对于有檩屋盖，宜将主要横向支撑设置在上弦平面，水平地震作用通过上弦平面传递，相应的，屋架亦应采用端斜杆上承式。在设置横向支撑开间的柱顶刚性系杆或竖向支撑、屋面檩条应加强，使屋盖横向支撑能通过屋面檩条、柱顶刚性系杆或竖向支撑等构件可靠地传递水平地震作用。但当采用下沉式横向天窗时，应在屋架下弦平面设置封闭的屋盖水平支撑系统。

4 8、9度时，屋盖支撑体系（上、下弦横向支撑）与柱间支撑应布置在同一开间，以便加强结构单元的整体性。

5 支撑设置还需注意：当厂房跨度不很大时，压型钢板轻型屋盖比较适合于采用与柱刚接的屋面梁。压型钢板屋面的坡度较平缓，跨变效应可略去不计。

对轻型有檩屋盖，亦可采用屋架端斜杆为上承式的铰接框架，柱顶水平力通过屋架上弦平面传递。屋盖支撑布置也可参照实腹屋面梁的，隅撑间距宜按屋架下弦的平面外长细比小于240确定，但横向支撑开间的屋架两端应设置竖向支撑。

檩条隅撑系统布置时，需考虑合理的传力路径，檩条及其两端连接应足以承受隅撑传至的作用力。

屋盖纵向水平支撑的布置比较灵活。设计时，应据具体情况综合分析，以达到合理布置的目的。

9.2.13 单层钢结构厂房的最大柱顶位移限值、吊车梁顶面标高处的位移限值，一般已可控制出现长细比过大的柔韧厂房。

本次修订，参考美国、欧洲、日本钢结构规范和抗震规范，结合我国现行钢结构设计规范的规定和设计习惯，按轴压比大小对厂房框架柱的长细比限值适当调整。

9.2.14 板件的宽厚比，是保证厂房框架延性的关键指标，也是影响单位面积耗钢量的关键指标。本次修订，对重屋盖和轻屋盖予以区别对待。重屋盖参照多层钢结构低于50m的抗震等级采用，柱的宽厚比要求比2001规范有所放松。

对于采用压型钢板轻型屋盖的单层钢结构厂房，对于设防烈度8度(0.20g)及以下的情况，即使按设防烈度的地震动参数

进行弹性计算，也经常出现由非地震组合控制厂房框架受力的情况。因此，根据实际工程的计算分析，发现如果采用性能化设计的方法，可以分别按“高延性，低弹性承载力”或“低延性，高弹性承载力”的抗震设计思路来确定板件宽厚比。即通过厂房框架承受的地震内力与其具有的弹性抗力进行比较来选择板件宽厚比：

当构件的强度和稳定的承载力均满足高承载力——2倍多遇地震作用下的要求 ($\gamma_G S_{GE} + \gamma_{Eh} 2S_E \leq R/\gamma_{RE}$) 时，可采用现行《钢结构设计规范》GB 50017 弹性设计阶段的板件宽厚比限值，即 C 类；当强度和稳定的承载力均满足中等承载力——1.5 倍多遇地震作用下的要求 ($\gamma_G S_{GE} + \gamma_{Eh} 1.5S_E \leq R/\gamma_{RE}$) 时，可按表 6 中 B 类采用；其他情况，则按表 6 中 A 类采用。

表 6 柱、梁构件的板件宽厚比限值

构件	板件名称		A类	B类
柱	I形截面	翼缘 b/t	10	12
		腹板 h_0/t_w	44	50
	箱形截面	壁板、腹板间翼缘 b/t	33	37
		腹板 h_0/t_w	44	48
	圆形截面	外径壁厚比 D/t	50	70
	梁	翼缘 b/t	9	11
		腹板 h_0/t_w	65	72
		腹板间翼缘 b/t	30	36
		腹板 h_0/t_w	65	72

注：表列数值适用于 Q235 钢。当材料为其他钢号时，除圆管的外径壁厚比应乘以 $235/f_y$ 外，其余应乘以 $\sqrt{235/f_y}$ 。

A、B、C 三类宽厚比的数值，系参照欧、日、美等国家的抗震规范选定。大体上，A 类可达全截面塑性且塑性铰在转动过程中承载力不降低；B 类可达全截面塑性，在应力强化开始前足以抵抗局部屈曲发生，但由于局部屈曲使塑性铰的转动能力有

限。C类是指现行《钢结构设计规范》GB 50017按弹性准则设计时腹板不发生局部屈曲的情况，如双轴对称H形截面翼缘需满足 $b/t \leq 15\sqrt{235/f_y}$ ，受弯构件腹板需满足 $72\sqrt{235/f_y} < h_0/t_w \leq 130\sqrt{235/f_y}$ ，压弯构件腹板应符合《钢结构设计规范》GB 50017-2003式(5.4.2)的要求。

上述板件宽厚比与地震作用的对应关系，系根据底部剪力相当的条件，与欧洲EC8规范、日本BCJ规范给出的板件宽厚比限值与地震作用的对应关系大致持平。

鉴于单跨单层厂房横向刚架的耗能区(潜在塑性铰区)，一般在上柱梁底截面附近，因此，即使遭遇强烈地震在上柱梁底区域形成塑性铰，并考虑塑性铰区钢材应变硬化，屋面梁仍可能处于弹性状态工作。所以框架塑性耗能区外的构件区段(即使遭遇强烈地震，截面应力始终在弹性范围内波动的构件区段)，可采用C类截面。

设计经验表明，就目前广泛采用轻型围护材料的情况，采用上述方法确定宽厚比，虽然增加了一些计算工作量，但充分利用了构件自身所具有的承载力，在6、7度设防时可以较大地降低耗钢量。

9.2.15 柱间支撑对整个厂房的纵向刚度、自振特性、塑性铰产生部位都有影响。柱间支撑的布置应合理确定其间距，合理选择和配置其刚度以减小厂房整体扭转。

1 柱间支撑长细比限值，大于细柔长细比下限值 $130\sqrt{235/f_y}$ (考虑 $0.5f_y$ 的残余应力)时，不需作钢号修正。

2 采用焊接型钢时，应采用整根型钢制作支撑杆件；但当采用热轧型钢时，采用拼接板加强才能达到等强接长。

3 对于大型屋面板无檩屋盖，柱顶的集中质量往往要大于各层吊车梁处的集中质量，其地震作用对各层柱间支撑大体相同，因此，上层柱间支撑的刚度、强度宜接近下层柱间支撑的。

4 压型钢板等轻型墙屋面围护，其波形垂直厂房纵向，对结构的约束较小，故可放宽厂房柱间支撑的间距。条文参考冶金

部门的规定，对轻型围护厂房的柱间支撑间距作出规定。

9.2.16 震害表明，外露式柱脚破坏的特征是锚栓剪断、拉断或拔出。由于柱脚锚栓破坏，使钢结构倾斜，严重者导致厂房坍塌。外包式柱脚表现为顶部箍筋不足的破坏。

1 埋入式柱脚，在钢柱根部截面容易满足塑性铰的要求。当埋入深度达到钢柱截面高度 2 倍的深度，可认为其柱脚部位的恢复力特性基本呈纺锤形。插入式柱脚引用冶金部门的有关规定。埋入式、插入式柱脚应确保钢柱的埋入深度和钢柱埋入部分的周边混凝土厚度。

2 外包式柱脚的力学性能主要取决于外包钢筋混凝土的力学性能。所以，外包短柱的钢筋应加强，特别是顶部箍筋，并确保外包混凝土的厚度。

3 一般的外露式柱脚，从力学的角度看，作为半刚性考虑更加合适。与钢柱根部截面的全截面屈服承载力相比，柱脚在多数情况下由锚栓屈服所决定的塑性弯矩较小。这种柱脚受弯时的力学性能，主要由锚栓的性能决定。如锚栓受拉屈服后能充分发展塑性，则承受反复荷载作用时，外露式柱脚的恢复力特性呈典型的滑移型滞回特性。但实际的柱脚，往往在锚栓截面未削弱部分屈服前，螺纹部分就发生断裂，难以有充分的塑性发展。并且，当钢柱截面大到一定程度时，设计大于柱截面抗弯承载力的外露式柱脚往往是困难的。因此，当柱脚承受的地震作用大时，采用外露式不经济，也不合适。采用外露式柱脚时，与柱间支撑连接的柱脚，不论计算是否需要，都必须设置剪力键，以可靠抵抗水平地震作用。

9.3 单层砖柱厂房

(I) 一般规定

9.3.1 本次修订明确本节适用范围为 6~8 度 ($0.20g$) 的烧结普通砖（黏土砖、页岩砖）、混凝土普通砖砌体。

在历次大地震中，变截面砖柱的上柱震害严重又不易修复，故规定砖柱厂房的适用范围为等高的中小型工业厂房。超出此范围的砖柱厂房；要采取比本节规定更有效的措施。

9.3.2 针对中小型工业厂房的特点，对钢筋混凝土无檩屋盖的砖柱厂房，要求设置防震缝。对钢、木等有檩屋盖的砖柱厂房，则明确可不设防震缝。

防震缝处需设置双柱或双墙，以保证结构的整体稳定性和刚性。

本次修订规定，屋盖设置天窗时，天窗不应通到端开间，以免过多削弱屋盖的整体性。天窗采用端砖壁时，地震中较多严重破坏，甚至倒塌，不应采用。

9.3.3 厂房的结构选型应注意：

1 历次大地震中，均有相当数量不配筋的无阶形柱的单层砖柱厂房，经受 8 度地震仍基本完好或轻微损坏。分析认为，当砖柱厂房山墙的间距、开洞率和高宽比均符合砌体结构静力计算的“刚性方案”条件且山墙的厚度不小于 240mm 时，即：

①厂房两端均设有承重山墙且山墙和横墙间距，对钢筋混凝土无檩屋盖不大于 32m，对钢筋混凝土有檩屋盖、轻型屋盖和有密铺望板的木屋盖不大于 20m；

②山墙或横墙上洞口的水平截面面积不应超过山墙或横墙截面面积的 50%；

③山墙和横墙的长度不小于其高度。

不配筋的砖排架柱仍可满足 8 度的抗震承载力要求。仅从承载力方面，8 度地震时可不配筋；但历次的震害表明，当遭遇 9 度地震时，不配筋的砖柱大多数倒塌，按照“大震不倒”的设计原则，本次修订强调，8 度（0.20g）时不应采用无筋砖柱。即仍保留 78 规范、89 规范关于 8 度设防时至少应设置“组合砖柱”的规定，且多跨厂房在 8 度Ⅲ、Ⅳ类场地时，中柱宜采用钢筋混凝土柱，仅边柱可略放宽为采用组合砖柱。

2 震害表明，单层砖柱厂房的纵向也要有足够的强度和刚

度，单靠独立砖柱是不够的，像钢筋混凝土柱厂房那样设置交叉支撑也不妥，因为支撑吸引来的地震剪力很大，将会剪断砖柱。比较经济有效的办法是，在柱间砌筑与柱整体连接的纵向砖墙并设置砖墙基础，以代替柱间支撑加强厂房的纵向抗震能力。

采用钢筋混凝土屋盖时，由于纵向水平地震作用较大，不能单靠屋盖中的一般纵向构件传递，所以要求在无上述抗震墙的砖柱顶部处设压杆（或用满足压杆构造的圈梁、天沟或檩条等代替）。

3 强调隔墙与抗震墙合并设置，目的在于充分利用墙体的功能，并避免非承重墙对柱及屋架与柱连接点的不利影响。当不能合并设置时，隔墙要采用轻质材料。

单层砖柱厂房的纵向隔墙与横向内隔墙一样，也宜做成抗震墙，否则会导致主体结构的破坏，独立的纵向、横向内隔墙，受震后容易倒塌，需采取保证其平面外稳定性的措施。

(II) 计 算 要 点

9.3.4 本次修订基本保持了 2001 规范可不进行纵向抗震验算的条件。明确为 7 度 ($0.10g$) 的情况，不适用于 7 度 ($0.15g$) 的情况。

9.3.5、9.3.6 在本节适用范围内的砖柱厂房，纵、横向抗震计算原则与钢筋混凝土柱厂房基本相同，故可参照本章第 9.1 节所提供的方法进行计算。其中，纵向简化计算的附录 K 不适用，而屋盖为钢筋混凝土或密铺望板的瓦木屋盖时，2001 规范规定，横向平面排架计算同样考虑厂房的空间作用影响。理由如下：

① 根据国家标准《砌体结构设计规范》GB 50003 的规定：密铺望板瓦木屋盖与钢筋混凝土有檩屋盖属于同一种屋盖类型，静力计算中，符合刚弹性方案的条件时 ($20 \sim 48$) m 均可考虑空间工作，但 89 抗震规范规定：钢筋混凝土有檩屋盖可以考虑空间工作，而密铺望板的瓦木屋盖不可以考虑空间工作，二者不协调。

② 历次地震，特别是辽南地震和唐山地震中，不少密铺望板瓦木屋盖单层砖柱厂房反映了明显的空间工作特性。

③ 根据王光远教授《建筑结构的振动》的分析结论，不仅仅钢筋混凝土无檩屋盖和有檩屋盖（大波瓦、槽瓦）厂房；就是石棉瓦和黏土瓦屋盖厂房在地震作用下，也有明显的空间工作。

④ 从具有木望板的瓦木屋盖单层砖柱厂房的实测可以看出：实测厂房的基本周期均比按排架计算周期为短，同时其横向振型与钢筋混凝土屋盖的振型基本一致。

⑤ 山楼墙间距小于 24m 时，其空间工作更明显，且排架柱的剪力和弯矩的折减有更大的趋势，而单层砖柱厂房山、楼墙间距小于 24m 的情况，在工程建设中也是常见的。

根据以上分析，本次修订继续保持 2001 规范对单层砖柱厂房的空间工作的如下修订：

- 1) 7 度和 8 度时，符合砌体结构刚弹性方案 ($20 \sim 48$) m 的密铺望板瓦木屋盖单层砖柱厂房与钢筋混凝土有檩屋盖单层砖柱厂房一样，也可考虑地震作用下的空间工作。
- 2) 附录 J “砖柱考虑空间工作的调整系数”中的“两端山墙间距”改为“山墙、承重（抗震）横墙的间距”；并将小于 24m 分为 24m、18m、12m。
- 3) 单层砖柱厂房考虑空间工作的条件与单层钢筋混凝土柱厂房不同，在附录 K 中加以区别和修正。

9.3.8 砖柱的抗震验算，在现行国家标准《砌体结构设计规范》GB 50003 的基础上，按可靠度分析，同样引入承载力调整系数后进行验算。

(Ⅲ) 构造措施

9.3.9 砖柱厂房一般多采用瓦木屋盖，89 规范关于木屋盖的规定基本上是合理的，本次修订，保持 89 规范、2001 规范的规

定；并依据木结构设计规范的规定，明确 8 度时的木屋盖不宜设置天窗。

木屋盖的支撑布置中，如端开间下弦水平系杆与山墙连接，地震后容易将山墙顶坏，故不宜采用。木天窗架需加强与屋架的连接，防止受震后倾倒。

当采用钢筋混凝土和钢屋盖时，可参照第 9.1、9.2 节的规定。

9.3.10 檩条与山墙连接不好，地震时将使支承处的砌体错动，甚至造成山尖墙倒塌，檩条伸出山墙的出山屋面有利于加强檩条与山墙的连接，对抗震有利，可以采用。

9.3.12 震害调查发现，预制圈梁的抗震性能较差，故规定在屋架底部标高处设置现浇钢筋混凝土圈梁。为加强圈梁的功能，规定圈梁的截面高度不应小于 180mm；宽度习惯上与砖墙同宽。

9.3.13 震害还表明，山墙是砖柱厂房抗震的薄弱部位之一，外倾、局部倒塌较多；甚至有全部倒塌的。为此，要求采用卧梁并加强锚拉的措施。

9.3.14 屋架（屋面梁）与柱顶或墙顶的圈梁锚固的修订如下：

1 震害表明：屋架（屋面梁）和柱子可用螺栓连接，也可采用焊接连接。

2 对垫块的厚度和配筋作了具体规定。垫块厚度太薄或配筋太少时，本身可能局部承压破坏，且埋件锚固不足。

9.3.15 根据设计需要，本次修订规定了砖柱的抗震要求。

9.3.16 钢筋混凝土屋盖单层砖柱厂房，在横向水平地震作用下，由于空间工作的因素，山墙、横墙将负担较大的水平地震剪力，为了减轻山墙、横墙的剪切破坏，保证房屋的空间工作，对山墙、横墙的开洞面积加以限制，8 度时宜在山墙、横墙的两端设置构造柱。

9.3.17 采用钢筋混凝土无檩屋盖等刚性屋盖的单层砖柱厂房，地震时砖墙往往在屋盖处圈梁底面下一至四皮砖范围内出

现周围水平裂缝。为此，对于高烈度地区刚性屋盖的单层砖柱厂房，在砖墙顶部沿墙长每隔 1m 左右埋设一根 $\phi 8$ 竖向钢筋，并插入顶部圈梁内，以防止柱周围水平裂缝，甚至墙体错动破坏的产生。

附录 H 多层工业厂房抗震设计要求

H. 1 钢筋混凝土框排架结构厂房

H. 1.1 多层钢筋混凝土厂房结构特点：柱网为（6~12）m、跨度大，层高高（4~8）m，楼层荷载大（10~20）kN/m²，可能会有错层，有设备振动扰力、吊车荷载，隔墙少，竖向质量、刚度不均匀，平面扭转。框排架结构是多、高层工业厂房的一种特殊结构，其特点是平面、竖向布置不规则、不对称，纵向、横向和竖向的质量分布很不均匀，结构的薄弱环节较多；地震反应特征和震害要比框架结构和排架结构复杂，表现出更显著的空间作用效应，抗震设计有特殊要求。

H. 1.2 为减少与国家标准《构筑物抗震设计规范》GB 50191 重复，本附录主要针对上下排列的框排架的特点予以规定。

针对框排架厂房的特点，其抗震措施要求更高。震害表明，同等高度设有贮仓的比不设贮仓的框架在地震中破坏的严重。钢筋混凝土贮仓竖壁与纵横向框架柱相连，以竖壁的跨高比来确定贮仓的影响，当竖壁的跨高比大于 2.5 时，竖壁为浅梁，可按不设贮仓的框架考虑。

H. 1.3 对于框排架结构厂房，如在排架跨采用有檩或其他轻屋盖体系，与结构的整体刚度不协调，会产生过大的位移和扭转，为了提高抗扭刚度，保证变形尽量趋于协调，使排架柱列与框架柱列能较好地共同工作，本条规定目的是保证排架跨屋盖的水平刚度；山墙承重属结构单元内有不同的结构形式，造成刚度、荷载、材料强度不均衡，本条规定借鉴单层厂房的规定和震害调查制订。

H. 1.5 在地震时，成品或原料堆积楼面荷载、设备和料斗及管道内的物料等可变荷载的遇合概率较大，应根据行业特点和使用

条件，取用不同的组合值系数；厂房除外墙外，一般内隔墙较少，结构自振周期调整系数建议取0.8~0.9；框排架结构的排架柱，是厂房的薄弱部位或薄弱层，应进行弹塑性变形验算；高大设备、料斗、贮仓的地震作用对结构构件和连接的影响不容忽视，其重力荷载除参与结构整体分析外，还应考虑水平地震作用下产生的附加弯矩。式（H.1.5）为设备水平地震作用的简化计算公式。

H.1.6 支承贮仓竖壁的框架柱的上端截面，在地震作用下如果过早屈服，将影响整体结构的变形能力。对于上述部位的组合弯矩设计值，在第6章规定基础上再增大1.1倍。

与排架柱相连的顶层框架节点处，框架梁端、柱端组合的弯矩设计值乘以增大系数，是为了提高节点承载力。排架纵向地震作用将通过纵向柱间支撑传至下部框架柱，本条参照框支柱要求调整构件内力。

竖向框排架结构的排架柱，是厂房的薄弱部位，需进行弹塑性变形验算。

针对框排架厂房节点两侧梁高通常不等的特点，为防止柱端和小核芯区剪切破坏，提出了高差大于大梁25%或500mm时的承载力验算公式。

H.1.7 框架柱的剪跨比不大于1.5时，为超短柱，破坏为剪切脆性型破坏。抗震设计应尽量避免采用超短柱，但由于工艺使用要求，有时不可避免（如有错层等情况），应采取特殊构造措施。在短柱内配置斜钢筋，可以改善其延性，控制斜裂缝发展。

H.2 多层钢结构厂房

H.2.1 考虑多层厂房受力复杂，其抗震等级的高度分界比民用建筑有所降低。

H.2.2 当设备、料斗等设备穿过楼层时，由于各楼层梁的竖向挠度难以同步，如采用分层支承，则各楼层结构的受力不明确。同时，在水平地震作用下，各层的层间位移对设备、料斗产生附

加作用效应，严重时可损坏设备。

细而高的设备必须借助厂房楼层侧向支承才能稳定，楼层与设备之间应采用能适应层间位移差异的柔性连接。

装料后的设备、料斗总重心接近楼层的支承点处，是为了降低设备或料斗的地震作用对支承结构所产生的附加效应。

H. 2.3 结构布置合理的支撑位置，往往与工艺布置冲突，支撑布置难以上下贯通，支撑平面布置错位。在保证支撑能把水平地震作用通过适当的途径，可靠地传递至基础前提下，支撑位置也可不设置在同一柱间。

H. 2.6 本条与 2001 规范相比，主要增加关于阻尼比的规定：

在众值烈度的地震作用下，结构处于弹性阶段。根据 33 个冶金钢结构厂房用脉动法和吊车刹车进行大位移自由衰减阻尼比测试结果，钢结构厂房小位移阻尼比为 0.012~0.029 之间，平均阻尼比 0.018；大位移阻尼比为 0.0188~0.0363 之间，平均阻尼比 0.026。与本规范第 8.2.2 条协调，规定多遇地震作用计算的阻尼比取 0.03~0.04。板件宽厚比限值的选择计算的阻尼比也取此值。当结构经受强烈地震作用（如中震、大震等）时，考虑到结构已可能进入非弹性阶段，结构以延性耗能为主。因此，罕遇地震分析的阻尼比可适当取大一些。

H. 2.7 “强柱弱梁”抗震概念，考虑的不仅是单独的梁柱连接部位，在更大程度上是反映结构的整体性能。多层工业厂房中，由于工艺设备布置的要求，有时较难做到“强柱弱梁”要求，因此，应着眼于结构整体的角度全面考虑和计算分析。

对梁柱节点左右梁端和上下柱端的全塑性承载力的验算要求，比本规范第 8.2.5 条增加两种例外情况：

①单层或多层结构顶层的低轴力柱，弹塑性软弱层的影响不明显，不需要满足要求。

②柱列中允许占一定比例的柱，当轴力较小而足以限制其在地震下出现不利反应且仍有可接受的刚度时，可不必满足强柱弱梁要求（如在厂房钢结构的一些大跨梁处、民用建筑转换大梁

处)。条文中的柱列，指一个单线柱列或垂直于该柱列方向平面尺寸 10% 范围内的几列平行的柱列。

H. 2.8 框架柱长细比限值大小对钢结构耗钢量有较大影响。构件长细比增加，往往误解为承载力退化严重。其实，这时的比较对象是构件的强度承载力，而不是稳定承载力。构件长细比属于稳定设计的范畴(实质上是位移问题)。构件长细比愈大，设计可使用的稳定承载力则愈小。在此基础上的比较表明，长细比增加，并不表现出稳定承载力退化趋势加重的迹象。

显然，框架柱的长细比增大，结构层间刚度减小，整体稳定性降低。但这些概念上已由结构的最大位移限值、层间位移限值、二阶效应验算以及限制软弱层、薄弱层、平面和竖向布置的抗震概念措施等所控制。美国 AISC 钢结构规范在提示中述及受压构件的长细比不应超过 200，钢结构抗震规范未作规定；日本 BCJ 抗震规范规定柱的长细比不得超过 200。条文参考美国、欧洲、日本钢结构规范和抗震规范，结合我国钢结构设计习惯，对框架柱的长细比限值作出规定。

当构件长细比不大于 $125\sqrt{235/f_{ay}}$ (弹性屈曲范围)时，长细比的钢号修正项才起作用。

抗侧力结构构件的截面板件宽厚比，是抗震钢结构构件局部延性要求的关键指标。板件宽厚比对工程设计的耗钢量影响很大。考虑多层钢结构厂房的特点，其板件宽厚比的抗震等级分界，比民用建筑降低 10m。

多层钢结构厂房的支撑布置往往受工艺要求制约，故增大其地震组合设计值。为避免出现过度刚强的支撑而吸引过多的地震作用，其长细比宜在弹性屈曲范围内选用。条文给出的柱间支撑长细比限值，下限值与欧洲规范的 X 形支撑、美国规范特殊中心支撑框架(SCBF)、日本规范的 BB 级支撑相当，上限值要稍严些。条文限定支撑长细比下限值的原因是，长细比在部分弹性屈曲范围($60\sqrt{235/f_{ay}} \leq \lambda \leq 125\sqrt{235/f_{ay}}$)中心受压构件，表现为承载力值不稳定，滞回环波动大。

10 空旷房屋和大跨屋盖建筑

10.1 单层空旷房屋

(I) 一般规定

单层空旷房屋是一组不同类型的结构组成的建筑，包含有单层的观众厅和多层的前后左右的附属用房。无侧厅的食堂，可参照本规范第9章设计。

观众厅与前后厅之间、观众厅与两侧厅之间一般不设缝，震害较轻；个别房屋在观众厅与侧厅处留缝，反而破坏较重。因此，在单层空旷房屋中的观众厅与侧厅、前后厅之间可不设防震缝，但根据本规范第3章的要求，布置要对称，避免扭转，并按本章采取措施，使整组建筑形成相互支持和有良好联系的空间结构体系。

本节主要规定了单层空旷房屋大厅抗震设计中有别于单层厂房的要求，对屋盖选型、构造、非承重隔墙及各种结构类型的附属房屋的要求，见其他各有关章节。

大厅人员密集，抗震要求较高，故观众厅有挑台，或房屋高、跨度大，或烈度高，需要采用钢筋混凝土框架或门式刚架结构等。根据震害调查及分析，为进一步提高其抗震安全性，本次修订对第10.1.3条进行了修改，对砖柱承重的情况作了更为严格的限制：

- ① 增加了7度(0.15g)时不应采用砖柱的规定；
- ② 鉴于现阶段各地区经济发展不平衡，对于设防烈度6度、7度(0.10g)，经济条件不足的地区，还不宜全部取消砖柱承重，只是在跨度和柱顶高度方面较2001规范限制更加严格。

(Ⅱ) 计 算 要 点

本次修订对计算要点的规定未作修改，同 2001 规范。

单层空旷房屋的平面和体型均较复杂，尚难以采用符合实际工作状态的假定和合理的模型进行整体计算分析。为了简化，从工程设计的角度考虑，可将整个房屋划为若干个部分，分别进行计算，然后从构造上和荷载的局部影响上加以考虑，互相协调。例如，通过周期的经验修正，使各部分的计算周期趋于一致；横向抗震分析时，考虑附属房屋的结构类型及其与大厅的连接方式，选用排架、框排架或排架-抗震墙的计算简图，条件合适时亦可考虑空间工作的影响，交接处的柱子要考虑高振型的影响；纵向抗震分析时，考虑屋盖的类型和前后厅等影响，选用单柱列或空间协同分析模型。

根据宏观震害调查分析，单层空旷房屋中，舞台后山墙等高大山墙的壁柱，地震中容易破坏。为减少其破坏，特别强调，高烈度时高大山墙应进行出平面的抗震验算。验算要求可参考本规范第 9 章，即壁柱在水平地震力作用下的偏心距超过规定值时，应设置组合壁柱，并验算其偏心受压的承载力。

(Ⅲ) 抗震构造措施

单层空旷房屋的主要抗震构造措施如下：

1 6、7 度时，中、小型单层空旷房屋的大厅，无筋的纵墙壁柱虽可满足承载力的设计要求，但考虑到大厅使用上的重要性，仍要求采用配筋砖柱或组合砖柱。

本次修订，在第 10.1.3 条不允许 8 度 I、II 类场地和 7 度 ($0.15g$) 采用砖柱承重，故在第 10.1.14 条删去了 2001 规范的有关规定。

当大厅采用钢筋混凝土柱时，其抗震等级不应低于二级。当附属房屋低于大厅柱顶标高时，大厅柱成为短柱，则其箍筋应全高加密。

2 前厅与大厅、大厅与舞台之间的墙体是单层空旷房屋的主要抗侧力构件，承担横向地震作用。因此，应根据抗震设防烈度及房屋的跨度、高度等因素，设置一定数量的抗震墙。采用钢筋混凝土抗震墙时，其抗震等级不应低于二级。与此同时，还应加强墙上的大梁及其连接的构造措施。

舞台口梁为悬梁，上部支承有舞台上的屋架，受力复杂，而且舞台口两侧墙体为一端自由的高大悬墙，在舞台口处不能形成一个门架式的抗震横墙，在地震作用下破坏较多。因此，舞台口墙要加强与大厅屋盖体系的拉结，用钢筋混凝土墙体、立柱和水平圈梁来加强自身的整体性和稳定性。9度时不应采用舞台口砌体悬墙承重。本次修订，进一步明确9度时舞台口悬墙应采用轻质墙体。

3 大厅四周的墙体一般较高，需增设多道水平圈梁来加强整体性和稳定性。特别是墙顶标高处的圈梁更为重要。

4 大厅与两侧的附属房屋之间一般不设防震缝，其交接处受力较大，故要加强相互间的连接，以增强房屋的整体性。本次修订，与本规范第7章对砌体结构的规定相协调，进一步提高了拉结措施——间距不大于400mm，且采用由拉结钢筋与分布短筋在平面内焊接而成的钢筋网片。

5 二层悬挑式挑台不但荷载大，而且悬挑跨度也较大，需要进行专门的抗震设计计算分析。

10.2 大跨屋盖建筑

(I) 一般规定

10.2.1 近年来，大跨屋盖的建筑工程越来越广泛。为适应该类结构抗震设计的要求，本次修订增加了大跨屋盖建筑结构抗震设计的相关规定，并形成单独一节。

本条规定了本规范适用的屋盖结构范围及主要结构形式。本规范的大跨屋盖建筑是指与传统板式、梁板式屋盖结构相区别，

具有更大跨越能力的屋盖体系，不应单从跨度大小的角度来理解大跨屋盖建筑结构。

大跨屋盖的结构形式多样，新形式也不断出现，本规范适用于一些常用结构形式，包括：拱、平面桁架、立体桁架、网架、网壳、张弦梁和弦支穹顶等七类基本形式以及由这些基本形式组合而成的结构。相应的，针对于这些屋盖结构形式的抗震研究开展较多，也积累了一定的抗震设计经验。

对于悬索结构、膜结构、索杆张力结构等柔性屋盖体系，由于几何非线性效应，其地震作用计算方法和抗震设计理论目前尚不成熟，本次修订暂不纳入。此外，大跨屋盖结构基本以钢结构为主，故本节也未对混凝土薄壳、组合网架、组合网壳等屋盖结构形式作出具体规定。

还需指出的是，对于存在拉索的预张拉屋盖结构，总体可分为三类：预应力结构，如预应力桁架、网架或网壳等；悬挂（斜拉）结构，如悬挂（斜拉）桁架、网架或网壳等；张弦结构，主要指张弦梁结构和弦支穹顶结构。本节中，预应力结构、悬挂（斜拉）结构归类在其依托的基本形式中。考虑到张弦结构的受力性能与常规预应力结构、悬挂（斜拉）结构有较大的区别，且是近些年发展起来的一类大跨屋盖结构新体系，因此将其作为基本形式列入。

大跨屋盖的结构新形式不断出现、体型复杂化、跨度极限不断突破，为保证结构的安全性，避免抗震性能差、受力很不合理的结构形式被采用，有必要对超出适用范围的大型建筑屋盖结构进行专门的抗震性能研究和论证，这也是国际上通常采用的技术保障措施。根据当前工程实践经验，对于跨度大于120m、结构单元长度大于300m或悬挑长度大于40m的屋盖结构，需要进行专门的抗震性能研究和论证。同时由于抗震设计经验的缺乏，新出现的屋盖结构形式也需要进行专门的研究和论证。

对于可开启屋盖，也属于非常用形式之一，其抗震设计除满足本节的规定外，与开闭功能有关的设计也需要另行研究和

论证。

10.2.2 本条规定为抗震概念设计的主要原则，是本规范第3.4节和第3.5节规定的补充。

大跨屋盖结构的选型和布置首先应保证屋盖的地震效应能够有效地通过支座节点传递给下部结构或基础，且传递途径合理。

屋盖结构的地震作用不仅与屋盖自身结构相关，而且还与支承条件以及下部结构的动力性能密切相关，是整体结构的反应。根据抗震概念设计的基本原则，屋盖结构及其支承点的布置宜均匀对称，具有合理的刚度和承载力分布。同时下部结构设计也应充分考虑屋盖结构地震响应的特点，避免采用很不规则的结构布置而造成屋盖结构产生过大的地震扭转效应。

屋盖自身的结构形式宜优先采用两个水平方向刚度均衡、整体刚度良好的网架、网壳、双向立体桁架、双向张弦梁或弦支穹顶等空间传力体系。同时宜避免局部削弱或突变的薄弱部位。对于可能出现的薄弱部位，应采取措施提高抗震能力。

10.2.3 本条针对屋盖体系自身传递地震作用的主要特点，对两类结构的布置要求作了规定。

1 单向传力体系的抗震薄弱环节是垂直于主结构（桁架、拱、张弦梁）方向的水平地震力传递以及主结构的平面外稳定性，设置可靠的屋盖支撑是重要的抗震措施。在单榀立体桁架中，与屋面支撑同层的两（多）根主弦杆间也应设置斜杆。这一方面可提高桁架的平面外刚度，同时也使得纵向水平地震内力在同层主弦杆中分布均匀，避免薄弱区域的出现。

当桁架支座采用下弦节点支承时，必须采取有效措施确保支座处桁架不发生平面外扭转，设置纵向桁架是一种有效的做法，同时还可保证纵向水平地震力的有效传递。

2 空间传力结构体系具有良好的整体性和空间受力特点，抗震性能优于单向传力体系。对于平面形状为矩形且三边支承一边开口的屋盖结构，可以通过在开口边局部增加层数来形成边桁架，以提高开口边的刚度和加强结构整体性。对于两向正交正放

网架和双向张弦梁，屋盖平面内的水平刚度较弱。为保证结构的整体性及水平地震作用的有效传递与分配，应沿上弦周边网格设置封闭的水平支撑。当结构跨度较大或下弦周边支承时，下弦周边网格也应设置封闭的水平支撑。

10.2.4 当屋盖分区域采用不同抗震性能的结构形式时，在结构交界区域通常会产生复杂的地震响应，一般避免采用此类结构。如确要采用，应对交界区域的杆件和节点采用加强措施。如果建筑设计和下部支承条件允许，设置防震缝也是可采用的有效措施。此时，由于实际工程情况复杂，为避免其两侧结构在强烈地震中碰撞，条文规定的防震缝宽度可能不足，最好按设防烈度下两侧独立结构在交界线上的相对位移最大值来复核。对于规则结构，缝宽也可将多遇地震下的最大相对变形值乘以不小于 3 的放大系数近似估计。

(II) 计 算 要 点

10.2.6 本条规定屋盖结构可不进行地震作用计算的范围。

1 研究表明，单向平面桁架和单向立体桁架是否受沿桁架方向的水平地震效应控制主要取决于矢跨比的大小。对于矢跨比小于 1/5 的该类结构，水平地震效应较小，7 度时可不进行沿桁架的水平向和竖向地震作用计算。但是由于垂直桁架方向的水平地震作用主要由屋盖支撑承担，本节并没有对支撑的布置进行详细规定，因此对于 7 度及 7 度以上的该类体系，均应进行垂直于桁架方向的水平地震作用计算并对支撑构件进行验算。

2 网架属于平板形屋盖结构。大量计算分析结果表明，当支承结构刚度较大时，网架结构以竖向振动为主。7 度时，网架结构的设计往往由非地震作用工况控制，因此可不进行地震作用计算，但应满足相应的抗震措施的要求。

10.2.7 本条规定抗震计算模型。

1 屋盖结构自身的地震效应是与下部结构协同工作的结果。由于下部结构的竖向刚度一般较大，以往在屋盖结构的竖向地震

作用计算时通常习惯于仅单独以屋盖结构作为分析模型。但研究表明，不考虑屋盖结构与下部结构的协同工作，会对屋盖结构的地震作用，特别是水平地震作用计算产生显著影响，甚至得出错误结果。即便在竖向地震作用计算时，当下部结构给屋盖提供的竖向刚度较弱或分布不均匀时，仅按屋盖结构模型所计算的结果也会产生较大的误差。因此，考虑上下部结构的协同作用是屋盖结构地震作用计算的基本原则。

考虑上下部结构协同工作的最合理方法是按整体结构模型进行地震作用计算。因此对于不规则的结构，抗震计算应采用整体结构模型。当下部结构比较规则时，也可以采用一些简化方法（譬如等效为支座弹性约束）来计入下部结构的影响。但是，这种简化必须依据可靠且符合动力学原理。

2 研究表明，对于跨度较大的张弦梁和弦支穹顶结构，由预张力引起的非线性几何刚度对结构动力特性有一定的影响。此外，对于某些布索方案（譬如肋环型布索）的弦支穹顶结构，撑杆和下弦拉索系统实际上是需要依靠预张力来保证体系稳定性的几何可变体系，且不计人几何刚度也将导致结构总刚矩阵奇异。因此，这些形式的张弦结构计算模型就必须计人几何刚度。几何刚度一般可取重力荷载代表值作用下的结构平衡态的内力（包括预张力）贡献。

10.2.8 本条规定了整体、协同计算时的阻尼比取值。

屋盖钢结构和下部混凝土支承结构的阻尼比不同，协同分析时阻尼比取值方面的研究较少。工程设计中阻尼比取值大多在0.025~0.035间，具体数值一般认为与屋盖钢结构和下部混凝土支承结构的组成比例有关。下面根据位能等效原则提供两种计算整体结构阻尼比的方法，供设计中采用。

方法一：振型阻尼比法。振型阻尼比是指针对于各阶振型所定义的阻尼比。组合结构中，不同材料的能量耗散机理不同，因此相应构件的阻尼比也不相同，一般钢构件取0.02，混凝土构件取0.05。对于每一阶振型，不同构件单元对于振型阻尼比的

贡献认为与单元变形能有关，变形能大的单元对该振型阻尼比的贡献较大，反之则较小。所以，可根据该阶振型下的单元变形能，采用加权平均的方法计算出振型阻尼比 ζ_i ：

$$\zeta_i = \sum_{s=1}^n \zeta_s W_{s,i} / \sum_{s=1}^n W_{s,i}$$

式中： ζ_i ——结构第 i 阶振型的阻尼比；

ζ_s ——第 s 个单元阻尼比，对钢构件取 0.02；对混凝土构件取 0.05；

n ——结构的单元总数；

$W_{s,i}$ ——第 s 个单元对应于第 i 阶振型的单元变形能。

方法二：统一阻尼比法。依然采用方法一的公式，但并不针对各振型 i 分别计算单元变形能 $W_{s,i}$ ，而是取各单元在重力荷载代表值作用下的变形能 W_s ，这样便求得对应于整体结构的一个阻尼比。

在罕遇地震作用下，一些实际工程的计算结果表明，屋盖钢结构也仅有少量构件能进入塑性屈服状态，所以阻尼比仍建议与多遇地震下的结构阻尼比取值相同。

10.2.9 本条规定水平地震作用的计算方向和宜考虑水平多向地震作用计算的范围。

不同于单向传力体系，空间传力体系的屋盖结构通常难以明确划分为沿某个方向的抗侧力构件，通常需要沿两个水平主轴方向同时计算水平地震作用。对于平面为圆形、正多边形的屋盖结构，可能存在两个以上的主轴方向，此时需要根据实际情况增加地震作用的计算方向。另外，当屋盖结构、支承条件或下部结构的布置明显不对称时，也应增加水平地震作用的计算方向。

10.2.10 本条规定了屋盖结构地震作用计算的方法。

本节适用的大跨屋盖结构形式属于线性结构范畴，因此振型分解反应谱法依然可作为是结构弹性地震效应计算的基本方法。随着近年来结构动力学理论和计算技术的发展，一些更为精确的动力学计算方法逐步被接受和应用，包括多向地震反应谱法、时

程分析法，甚至多向随机振动分析方法。对于结构动力响应复杂和跨度较大的结构，应该鼓励采用这些方法进行地震作用计算，以作为振型分解反应谱法的补充。

自振周期分布密集是大跨屋盖结构区别于多高层结构的重要特点。在采用振型分解反应谱法时，一般应考虑更多阶振型的组合。研究表明，在不按上下部结构整体模型进行计算时，网架结构的组合振型数宜至少取前（10~15）阶，网壳结构宜至少取前（25~30）阶。对于体型复杂的屋盖结构或按上下部结构整体模型计算时，应取更多阶组合振型。对于存在明显扭转效应的屋盖结构，组合应采用完全二次型方根（CQC）法。

10.2.11 对于单向传力体系，结构的抗侧力构件通常是明确的。桁架构件抵抗其面内的水平地震作用和竖向地震作用，垂直桁架方向的水平地震作用则由屋盖支撑承担。因此，可针对各向抗侧力构件分别进行地震作用计算。

除单向传力体系外，一般屋盖结构的构件难以明确划分为沿某个方向的抗侧力构件，即构件的地震效应往往包含三向地震作用的结果，因此其构件验算应考虑三向（两个水平向和竖向）地震作用效应的组合，其组合值系数可按本规范第5章的规定采用。这也是基本原则。

10.2.12 多遇地震作用下的屋盖结构变形限值部分参考了《空间网格结构技术规程》的相关规定。

10.2.13 本条规定屋盖构件及其连接的抗震验算。

大跨屋盖结构由于其自重轻、刚度好，所受震害一般要小于其他类型的结构。但震害情况也表明，支座及其邻近构件发生破坏的情况较多，因此通过放大地震作用效应来提高该区域杆件和节点的承载力，是重要的抗震措施。由于通常该区域的节点和杆件数量不多，对于总工程造价的增加是有限的。

拉索是预张拉结构的重要构件。在多遇地震作用下，应保证拉索不发生松弛而退出工作。在设防烈度下，也宜保证拉索在各地震作用参与的工况组合下不出现松弛。

(Ⅲ) 抗震构造措施

10.2.14 本条规定了杆件的长细比限值。

杆件长细比限值参考了《钢结构设计规范》GB 50017 和《空间网格结构技术规程》的相关规定，并作了适当加强。

10.2.15 本条规定了节点的构造要求。

节点选型要与屋盖结构的类型及整体刚度等因素结合起来，采用的节点要便于加工、制作、焊接。设计中，结构杆件内力的正确计算，必须用有效的构造措施来保证，其中节点构造应符合计算假定。

在地震作用下，节点应不先于杆件破坏，也不产生不可恢复的变形，所以要求节点具有足够的强度和刚度。杆件相交于节点中心将不产生附加弯矩，也使模型计算假定更加符合实际情况。

10.2.16 本条规定了屋盖支座的抗震构造。

支座节点是屋盖地震作用传递给下部结构的关键部件，其构造应与结构分析所取的边界条件相符，否则将使结构实际内力与计算内力出现较大差异，并可能危及结构的整体安全。

支座节点往往是地震破坏的部位，属于前面定义的关键节点的范畴，应予加强。在节点验算方面，对地震作用效应进行了必要的提高（第 10.2.13 条）。此外根据延性设计的要求，支座节点在超过设防烈度的地震作用下，应有一定的抗变形能力。但对于水平可滑动的支座节点，较难得到保证。因此建议按设防烈度计算值作为可滑动支座的位移限值（确定支承面的大小），在罕遇地震作用下采用限位措施确保不致滑移出支承面。

对于 8、9 度时多遇地震下竖向仅受压的支座节点，考虑到在强烈地震作用（如中震、大震）下可能出现受拉，因此建议采用构造上也能承受拉力的拉压型支座形式，且预埋锚筋、锚栓也按受拉情况进行构造配置。

11 土、木、石结构房屋

11.1 一般规定

本节是在 2001 规范基础上增加的内容。主要依据云南丽江、普洱、大姚地震，新疆巴楚、伽师地震，河北张北地震，内蒙古西乌旗地震，江西九江-瑞昌地震，浙江文成地震，四川道孚、汶川等地震灾区房屋震害调查资料，对土木石房屋具有共性的震害问题进行了总结，在此基础上提出了本节的有关规定。本章其他条款也据此做了部分改动与细化。

11.1.1 形状比较简单、规则的房屋，在地震作用下受力明确、简洁，同时便于进行结构分析，在设计上易于处理。震害经验也充分表明，简单、规整的房屋在遭遇地震时破坏也相对较轻。

墙体均匀、对称布置，在平面内对齐、竖向连续是传递地震作用的要求，这样沿主轴方向的地震作用能够均匀对称地分配到各个抗侧力墙段，避免出现应力集中或因扭转造成部分墙段受力过大而破坏、倒塌。我国不少地区的二、三层房屋，外纵墙在一、二层上下不连续，即二层外纵墙外挑，在 7 度地震影响下二层墙体开裂严重。

板式单边悬挑楼梯在墙体开裂后会因嵌固端破坏而失去承载能力，容易造成人员跌落伤亡。

震害调查发现，有的房屋纵横墙采用不同材料砌筑，如纵墙用砖砌筑、横墙和山墙用土坯砌筑，这类房屋由于两种材料砌块的规格不同，砖与土坯之间不能咬槎砌筑，不同材料墙体之间为通缝，导致房屋整体性差，在地震中破坏严重；又如有些地区采用的外砖里坯（亦称里生外熟）承重墙，地震中墙体倒塌现象较为普遍。这里所说的不同墙体混合承重，是指同一高度左右相邻不同材料的墙体，对于下部采用砖（石）墙，上部采用土坯墙，

或下部采用石墙，上部采用砖或土坯墙的做法则不受此限制，但这类房屋的抗震承载力应按上部相对较弱的墙体考虑。

调查发现，一些村镇房屋设有较宽的外挑檐，在屋檐外挑梁的上面砌筑用于搁置檩条的小段墙体，甚至砌成花格状，没有任何拉接措施，地震时容易破坏掉落伤人，因此明确规定不得采用。该位置可采用三角形小屋架或设瓜柱解决外挑部位檩条的支承问题。

11.1.2 木楼、屋盖房屋刚性较弱，加强木楼、屋盖的整体性可以有效地提高房屋的抗震性能，各构件之间的拉结是加强整体性的重要措施。试验研究表明，木屋盖加设竖向剪刀撑可增强木屋架纵向稳定性。

纵向通长水平系杆主要用于竖向剪刀撑、横墙、山墙的拉结。

采用墙揽将山墙与屋盖构件拉结牢固，可防止山墙外闪破坏；内隔墙稳定性差，墙顶与梁或屋架下弦拉结是防止其平面外失稳倒塌的有效措施。

11.1.3 本条规定了木楼、屋盖构件在屋架和墙上的最小支承长度和对应的连接方式。

11.1.4 本条规定了门窗洞口过梁的支承长度。

11.1.5 地震中坡屋面溜瓦是瓦屋面常见的破坏现象，冷摊瓦屋面的底瓦浮搁在椽条上时更容易发生溜瓦，掉落伤人。因此，本条要求冷摊瓦屋面的底瓦与椽条应有锚固措施。根据地震现场调查情况，建议在底瓦的弧边两角设置钉孔，采用铁钉与椽条钉牢。盖瓦可用石灰或水泥砂浆压垄等做法与底瓦粘结牢固。该项措施还可以防止暴风对冷摊瓦屋面造成的破坏。四川汶川地震灾区恢复重建中已有平瓦预留了锚固钉孔。

11.1.6 本条对突出屋面的烟囱、女儿墙等易倒塌构件的出屋面高度提出了限值。

11.1.7 本条对土木石房屋的结构材料提出了基本要求。

11.1.8 本条对土木石房屋施工中钢筋端头弯钩和外露铁件防锈

处理提出要求。

11.2 生土房屋

11.2.1 本次修订，根据生土房屋在不同地震烈度下的震害情况，将本节生土房屋的适用范围较 2001 规范降低一度。

11.2.2 生土房屋的层数，因其抗震能力有限，一般仅限于单层；本次修订，生土房屋的高度和开间尺寸限制保持不变。

灰土墙指掺有石灰的土坯砌筑或灰土夯筑而成的墙体，其承载力明显高于土墙。1970 年云南通海地震，7、8 度区两层及两层以下的土墙房屋仅轻微损坏。1918 年广东南澳大地震，汕头为 8 度，一些由贝壳煅烧的白灰夯筑的 2、3 层灰土承重房屋，包括医院和办公楼，受到轻微损坏，修复后继续使用。因此，灰土墙承重房屋采取适当的措施后，7 度设防时可建二层房屋。

11.2.3 生土房屋的屋面采用轻质材料，可减轻地震作用；提倡用双坡和弧形屋面，可降低山墙高度，增加其稳定性；单坡屋面的后纵墙过高，稳定性差，平屋面防水有问题，不宜采用。

由于土墙抗压强度低，支承屋面构件部位均应有垫板或圈梁。檩条要满搭在墙上或椽子上，端檩要出檐，以使外墙受荷均匀，增加接触面积。

11.2.4 抗震墙上开洞过大会削弱墙体抗震能力，因此对门窗洞口宽度进行限制。

当一个洞口采用多根木杆组成过梁时，在木杆上表面采用木板、扒钉、钢丝等将各根木杆连接成整体可避免地震时局部破坏塌落。

生土墙在纵横墙交接处沿高度每隔 500mm 左右设一层荆条、竹片、树条等拉结网片，可以加强转角处和内外墙交接处墙体的连接，约束该部位墙体，提高墙体的整体性，减轻地震时的破坏。震害表明，较细的多根荆条、竹片编制的网片，比较粗的几根竹竿或木杆的拉结效果好。原因是网片与墙体的接触面积

大，握裹好。

11.2.5 调查表明，村镇房屋墙体非地震作用开裂现象普遍，主要原因是不重视地基处理和基础的砌筑质量，导致地基不均匀沉降使墙体开裂。因此，本条要求对房屋的地基应夯实，并对基础的材料和砌筑砂浆提出了相应要求。设置防潮层以防止生土墙体酥落。

11.2.6 土坯的土质和成型方法，决定了土坯质量的好坏并最终决定土墙的强度，应予以重视。

11.2.7 为加强灰土墙房屋的整体性，要求设置圈梁。圈梁可用配筋砖带或木圈梁。

11.2.8 提高土拱房的抗震性能，主要是拱脚的稳定、拱圈的牢固和整体性。若一侧为崖体一侧为人工土墙，会因软硬不同导致破坏。

11.2.9 土窑洞有一定的抗震能力，在宏观震害调查时看到，土体稳定、土质密实、坡度较平缓的土窑洞在 7 度区有较完好的例子。因此，对土窑洞来说，首先要选择良好的建筑场地，应避开易产生滑坡、崩塌的地段。

崖窑前不要接砌土坯或其他材料的前脸，否则前脸部分将极易遭到破坏。

有些地区习惯开挖层窑，一般来说比较危险，如需要时应注意间隔足够的距离，避免一旦土体破坏时发生连锁反应，造成大面积坍塌。

11.3 木结构房屋

11.3.1 本节所规定的木结构房屋，不适用于木柱与屋架（梁）铰接的房屋。因其柱子上、下端均为铰接，是不稳定的结构体系。

11.3.2 木柱与砖柱或砖墙在力学性能上是完全不同的材料，木柱属于柔性材料，变形能力强，砖柱或砖墙属于脆性材料，变形能力差。若两者混用，在水平地震作用下变形不协调，将使房屋

产生严重破坏。

震害表明，无端屋架山墙往往容易在地震中破坏，导致端开间塌落，故要求设置端屋架（木梁），不得采用硬山搁檩做法。

11.3.3 由于结构构造的不同，各种木结构房屋的抗震性能也有一定的差异。其中穿斗木构架和木柱木屋架房屋结构性能较好，通常采用重量较轻的瓦屋面，具有结构重量轻、延性与整体性较好的优点，其抗震性能比木柱木梁房屋要好，6~8度可建造两层房屋。

木柱木梁房屋一般为重量较大的平屋盖泥被屋顶，通常为粗梁细柱，梁、柱之间连接简单，从震害调查结果看，其抗震性能低于穿斗木构架和木柱木屋架房屋，一般仅建单层房屋。

11.3.4 四柱三跨木排架指的是中间有一个较大的主跨，两侧各有一个较小边跨的结构，是大跨空旷木柱房屋较为经济合理的方案。

震害表明，15m~18m宽的木柱房屋，若仅用单跨，破坏严重，甚至倒塌；而采用四柱三跨的结构形式，甚至出现地裂缝，主跨也安然无恙。

11.3.5 木结构房屋无承重山墙，故本规范第9.3节规定的房屋两端第二开间设置屋盖支撑的要求需向外移到端开间。

11.3.6~11.3.8 木柱与屋架（梁）设置斜撑，目的是控制横向侧移和加强整体性，穿斗木构架房屋整体性较好，有相当的抗倒力和变形能力，故可不必采用斜撑来限制侧移，但平面外的稳定性还需采用纵向支撑来加强。

震害表明，木柱与木屋架的斜撑若用夹板形式，通过螺栓与屋架下弦节点和上弦处紧密连接，则基本完好，而斜撑连接于下弦任意部位时，往往倒塌或严重破坏。

为保证排架的稳定性，加强柱脚和基础的锚固是十分必要的，可采用拉结铁件和螺栓连接的方式，或有石销键的柱础，也可对柱脚采取防腐处理后埋入地面以下。

11.3.9 本条对木构件截面尺寸、开榫、接头等的构造提出了

要求。

11.3.10 震害表明，木结构围护墙是非常容易破坏和倒塌的构件。木构架和砌体围护墙的质量、刚度有明显差异，自振特性不同，在地震作用下变形性能和产生的位移不一致，木构件的变形能力大于砌体围护墙，连接不牢时两者不能共同工作，甚至会相互碰撞，引起墙体开裂、错位，严重时倒塌。本条的目的是尽可能使围护墙在采取适当措施后不倒塌，以减轻人员伤亡和地震损失。

1 沿墙高每隔 500mm 采用 8 号钢丝将墙体内的水平拉结筋或拉结网片与木柱拉结，配筋砖圈梁、配筋砂浆带等与木柱采用 $\phi 6$ 钢筋或 8 号钢丝拉结，可以使木构架与围护墙协同工作，避免两者相互碰撞破坏。振动台试验表明，在较强地震作用下即使墙体因抗剪承载力不足而开裂，在与木柱有可靠拉结的情况下也不致倒塌。

2 对土坯、砖等砌筑的围护墙洞口的宽度提出了限制。

3 完全包裹在土坯、砖等砌筑的围护墙中的木柱不通风，较易腐蚀，且难于检查木柱的变质情况。

11.4 石结构房屋

11.4.1、11.4.2 多层石房震害经验不多，唐山地区多数是二层，少数三、四层，而昭通地区大部分是二、三层，仅泉州石结构古塔高达 48.24m，经过 1604 年 8 级地震（泉州烈度为 8 度）的考验至今犹存。

多层石房高度限值相对于砖房是较小的，这是考虑到石块加工不平整，性能差别很大，且目前石结构的地震经验还不足。2008 年局部修订将总高度和层数限值由“不宜”，改为“不应”，要求更加严格了。

11.4.6 从宏观震害和试验情况来看，石墙体的破坏特征和砖结构相近，石墙体的抗剪承载力验算可与多层砌体结构采用同样的方法。但其承载力设计值应由试验确定。

11.4.7 石结构房屋的构造柱设置要求，系参照 89 规范混凝土中型砌块房屋对芯柱的设置要求规定的，而构造柱的配筋构造等要求，需参照多层黏土砖房的规定。

11.4.8 洞口是石墙体的薄弱环节，因此需对其洞口的面积加以限制。

11.4.9 多层石房每层设置钢筋混凝土圈梁，能够提高其抗震能力，减轻震害，例如，唐山地震中，10 度区有 5 栋设置了圈梁的二层石房，震后基本完好，或仅轻微破坏。

与多层砖房相比，石墙体房屋圈梁的截面加大，配筋略有增加，因为石墙材料重量较大。在每开间及每道墙上，均设置现浇圈梁是为了加强墙体间的连接和整体性。

11.4.10 石墙在交接处用条石无垫片砌筑，并设置拉结钢筋网片，是根据石墙材料的特点，为加强房屋整体性而采取的措施。

11.4.11 本条为新增条文。石板多有节理缺陷，在建房过程中常因堆载断裂造成人员伤亡事故。因此，明确不得采用对抗震不利的料石作为承重构件。

12 隔震和消能减震设计

12.1 一般规定

12.1.1 隔震和消能减震是建筑结构减轻地震灾害的有效技术。

隔震体系通过延长结构的自振周期能够减少结构的水平地震作用，已被国外强震记录所证实。国内外的大量试验和工程经验表明：隔震一般可使结构的水平地震加速度反应降低 60% 左右，从而消除或有效地减轻结构和非结构的地震损坏，提高建筑物及其内部设施和人员的地震安全性，增加了震后建筑物继续使用的功能。

采用消能减震的方案，通过消能器增加结构阻尼来减少结构在风作用下的位移是公认的事实，对减少结构水平和竖向的地震反应也是有效的。

适应我国经济发展的需要，有条件地利用隔震和消能减震来减轻建筑结构的地震灾害，是完全可能的。本章主要吸收国内外研究成果中较成熟的内容，目前仅列入橡胶隔震支座的隔震技术和关于消能减震设计的基本要求。

2001 规范隔震层位置仅限于基础与上部结构之间，本次修订，隔震设计的适用范围有所扩大，考虑国内外已有隔震建筑的隔震层不仅是设置在基础上，而且设置在一层柱顶等下部结构或多塔楼的底盘上。

12.1.2 隔震技术和消能减震技术的主要使用范围，是可增加投资来提高抗震安全的建筑。进行方案比较时，需对建筑的抗震设防分类、抗震设防烈度、场地条件、使用功能及建筑、结构的方案，从安全和经济两方面进行综合分析对比。

考虑到随着技术的发展，隔震和消能减震设计的方案分析不需要特别的论证，本次修订不作为强制性条文，只保留其与本规

范第 3.5.1 条关于抗震设计的规定不同的特点——与抗震设计方案进行对比，这是确定隔震设计的水平向减震系数和减震设计的阻尼比所需要的，也能显示出隔震和减震设计比抗震设计在提高结构抗震能力上的优势。

12.1.3 本次修订，对隔震设计的结构类型不作限制，修改 2001 版规定的基本周期小于 1s 和采用底部剪力法进行非隔震设计的结构。在隔震设计的方案比较和选择时仍应注意：

1 隔震技术对低层和多层建筑比较合适，日本和美国的经验表明，不隔震时基本周期小于 1.0s 的建筑结构效果最佳；建筑结构基本周期的估计，普通的砌体房屋可取 0.4s，钢筋混凝土框架取 $T_1 = 0.075H^{3/4}$ ，钢筋混凝土抗震墙结构取 $T_1 = 0.05H^{3/4}$ 。但是，不应仅限于基本自振周期在 1s 内的结构，因为超过 1s 的结构采用隔震技术有可能同样有效，国外大量隔震建筑也验证了此点，故取消了 2001 规范要求结构周期小于 1s 的限制。

2 根据橡胶隔震支座抗拉屈服强度低的特点，需限制非地震作用的水平荷载，结构的变形特点需符合剪切变形为主且房屋高宽比小于 4 或有关规范、规程对非隔震结构的高宽比限制要求。现行规范、规程有关非隔震结构高宽比的规定如下：

高宽比大于 4 的结构小震下基础不应出现拉应力；砌体结构，6、7 度不大于 2.5，8 度不大于 2.0，9 度不大于 1.5；混凝土框架结构，6、7 度不大于 4，8 度不大于 3，9 度不大于 2；混凝土抗震墙结构，6、7 度不大于 6，8 度不大于 5，9 度不大于 4。

对高宽比大的结构，需进行整体倾覆验算，防止支座压屈或出现拉应力超过 1MPa。

3 国外对隔震工程的许多考察发现：硬土场地较适合于隔震房屋；软弱场地滤掉了地震波的中高频分量，延长结构的周期将增大而不是减小其地震反应，墨西哥地震就是一个典型的例子。2001 规范的要求仍然保留，当在Ⅳ类场地建造隔震房屋时，

应进行专门研究和专项审查。

4 隔震层防火措施和穿越隔震层的配管、配线，有与隔震要求相关的专门要求。2008年汶川地震中，位于7、8度区的隔震建筑，上部结构完好，但隔震层的管线受损，故需要特别注意改进。

12.1.4 消能减震房屋最基本的特点是：

1 消能装置可同时减少结构的水平和竖向的地震作用，适用范围较广，结构类型和高度均不受限制；

2 消能装置使结构具有足够的附加阻尼，可满足罕遇地震下预期的结构位移要求；

3 由于消能装置不改变结构的基本形式，除消能部件和相关部件外的结构设计仍可按本规范各章对相应结构类型的要求执行。这样，消能减震房屋的抗震构造，与普通房屋相比不降低，其抗震安全性可有明显的提高。

12.1.5 隔震支座、阻尼器和消能减震部件在长期使用过程中需要检查和维护。因此，其安装位置应便于维护人员接近和操作。

为了确保隔震和消能减震的效果，隔震支座、阻尼器和消能减震部件的性能参数应严格检验。

按照国家标准《橡胶支座 第3部分：建筑隔震橡胶支座》GB 20688.3-2006的规定，橡胶支座产品在安装前应对工程中所用的各种类型和规格的原型部件进行抽样检验，其要求是：

采用随机抽样方式确定检测试件。若有一件抽样的一项性能不合格，则该次抽样检验不合格。

对一般建筑，每种规格的产品抽样数量应不少于总数的20%；若有不合格，应重新抽取总数的30%，若仍有不合格，则应100%检测。

一般情况下，每项工程抽样总数不少于20件，每种规格的产品抽样数量不少于4件。

尚没有国家标准和行业标准的消能部件中的消能器，应采用

本章第 12.3 节规定的方法进行检验。对黏滞流体消能器等可重复利用的消能器，抽检数量适当增多，抽检的消能器可用于主体结构；对金属屈服位移相关型消能器等不可重复利用的消能器，在同一类型中抽检数量不少于 2 个，抽检合格率为 100%，抽检后不能用于主体结构。

型式检验和出厂检验应由第三方完成。

12.1.6 本条明确提出，可采用隔震、减震技术进行结构的抗震性能化设计。此时，本章的规定应依据性能化目标加以调整。

12.2 房屋隔震设计要点

12.2.1 本规范对隔震的基本要求是：通过隔震层的大变形来减少其上部结构的地震作用，从而减少地震破坏。隔震设计需解决的主要问题是：隔震层位置的确定，隔震垫的数量、规格和布置，隔震层在罕遇地震下的承载力和变形控制，隔震层不隔离竖向地震作用的影响，上部结构的水平向减震系数及其与隔震层的连接构造等。

隔震层的位置通常位于第一层以下。当位于第一层及以上时，隔震体系的特点与普通隔震结构可有较大差异，隔震层以下的结构设计计算也更复杂。

为便于我国设计人员掌握隔震设计方法，本规范提出了“水平向减震系数”的概念。按减震系数进行设计，隔震层以上结构的水平地震作用和抗震验算，构件承载力留有一定的安全储备。对于丙类建筑，相应的构造要求也可有所降低。但必须注意，结构所受的地震作用，既有水平向也有竖向，目前的橡胶隔震支座只具有隔离水平地震的功能，对竖向地震没有隔震效果，隔震后结构的竖向地震力可能大于水平地震力，应予以重视并做相应的验算，采取适当的措施。

12.2.2 本条规定了隔震体系的计算模型，且一般要求采用时程分析法进行设计计算。在附录 L 中提供了简化计算方法。

图 12.2.2 是对应于底部剪力法的等效剪切型结构的示意图；

其他情况，质点 j 可有多个自由度，隔震装置也有相应的多个自由度。

本次修订，当隔震结构位于发震断裂主断裂带 10km 以内时，要求各个设防类别的房屋均应计及地震近场效应。

12.2.3、12.2.4 规定了隔震层设计的基本要求。

1 关于橡胶隔震支座的压应力和最大拉应力限值。

- 1) 根据 Haringx 弹性理论，按稳定要求，以压缩荷载下叠层橡胶水平刚度为零的压应力作为屈曲应力 σ_{cr} ，该屈曲应力取决于橡胶的硬度、钢板厚度与橡胶厚度的比值、第一形状参数 s_1 （有效直径与中央孔洞直径之差 $D-D_0$ 与橡胶层 4 倍厚度 $4t_r$ 之比）和第二形状参数 s_2 （有效直径 D 与橡胶层总厚度 nt_r 之比）等。

通常，隔震支座中间钢板厚度是单层橡胶厚度的一半，取比值为 0.5。对硬度为 30~60 共七种橡胶，以及 $s_1=11、13、15、17、19、20$ 和 $s_2=3、4、5、6、7$ ，累计 210 种组合进行了计算。结果表明：满足 $s_1 \geq 15$ 和 $s_2 \geq 5$ 且橡胶硬度不小于 40 时，最小的屈曲应力值为 34.0MPa。

将橡胶支座在地震下发生剪切变形后上下钢板投影的重叠部分作为有效受压面积，以该有效受压面积得到的平均应力达到最小屈曲应力作为控制橡胶支座稳定的条件，取容许剪切变形为 $0.55D$ (D 为支座有效直径)，则可得本条规定的丙类建筑的压应力限值

$$\sigma_{max} = 0.45\sigma_{cr} = 15.0\text{MPa}$$

对 $s_2 < 5$ 且橡胶硬度不小于 40 的支座，当 $s_2=4$ ， $\sigma_{max}=12.0\text{MPa}$ ；当 $s_2=3$ ， $\sigma_{max}=9.0\text{MPa}$ 。因此规定，当 $s_2 < 5$ 时，平均压应力限值需予以降低。

- 2) 规定隔震支座控制拉应力，主要考虑下列三个因素：
 - ① 橡胶受拉后内部有损伤，降低了支座的弹性性能；
 - ② 隔震支座出现拉应力，意味着上部结构存在倾覆

危险；

③规定隔震支座拉应力 $\sigma_t < 1 \text{ MPa}$ 理由是：1) 广州大学工程抗震研究中心所作的橡胶垫的抗拉试验中，其极限抗拉强度为 (2.0~2.5) MPa；2) 美国 UBC 规范采用的容许抗拉强度为 1.5 MPa。

2 关于隔震层水平刚度和等效黏滞阻尼比的计算方法，系根据振动方程的复阻尼理论得到的。其实部为水平刚度，虚部为等效黏滞阻尼比。

本次修订，考虑到随着橡胶隔震支座的制作工艺越来越成熟，隔震支座的直径越来越大，建议在隔震支座选型时尽量选用大直径的支座，对 300mm 直径的支座，由于其直径小，稳定性差，故将其设计承载力由 12MPa 降低到 10MPa。

橡胶支座随着水平剪切变形的增大，其容许竖向承载能力将逐渐减小，为防止隔震支座在大变形的情况下失去承载能力，故要求支座的剪切变形应满足 $\sigma \leq \sigma_{cr}(1 - \gamma/s_2)$ ，式中， γ 为水平剪切变形， s_2 为支座第二形状系数， σ 为支座竖向面压， σ_{cr} 为支座极限抗压强度。同时支座的竖向压应力不大于 30MPa，水平变形不大于 $0.55D$ 和 300% 的较小值。

隔震支座直径较大时，如直径不小于 600mm，考虑实际工程隔震后的位移和现有试验设备的条件，对于罕遇地震位移验算时的支座设计参数，可取水平剪切变形 100% 的刚度和阻尼。

还需注意，橡胶材料是非线性弹性体，橡胶隔震支座的有效刚度与振动周期有关，动静刚度的差别甚大。因此，为了保证隔震的有效性，最好取相应于隔震体系基本周期的刚度进行计算。本次修订，将 2001 规范隐含加载频率影响的“动刚度”改为“等效刚度”，用语更明确，方便同国家标准《橡胶支座》接轨；之所以去掉有关频率对刚度影响的语句，因相关的产品标准已有明确的规定。

12.2.5 隔震后，隔震层以上结构的水平地震作用可根据水平向减震系数确定。对于多层结构，层间地震剪力代表了水平地震作

用取值及其分布，可用来识别结构的水平向减震系数。

考虑到隔震层不能隔离结构的竖向地震作用，隔震结构的竖向地震力可能大于其水平地震力，竖向地震的影响不可忽略，故至少要求 9 度时和 8 度水平向减震系数为 0.30 时应进行竖向地震作用验算。

本次修订，拟对水平向减震系数的概念作某些调整：直接将“隔震结构与非隔震结构最大水平剪力的比值”改称为“水平向减震系数”，采用该概念力图使其意义更明确，以方便设计人员理解和操作（美国、日本等国也同样采用此方法）。

隔震后上部结构按本规范相关结构的规定进行设计时，地震作用可以降低，降低后的地震影响系数曲线形式参见本规范 5.1.5 条，仅地震影响系数最大值 α_{max} 减小。

2001 规范确定隔震后水平地震作用时所考虑的安全系数 1.4，对于当时隔震支座的性能是合适的。当前，在国家产品标准《橡胶支座 第 3 部分：建筑隔震橡胶支座》GB 20688.3-2006 中，橡胶支座按剪切性能允许偏差分为 S-A 和 S-B 两类，其中 S-A 类的允许偏差为 $\pm 15\%$ ，S-B 类的允许偏差为 $\pm 25\%$ 。因此，随着隔震支座产品性能的提高，该系数可适当减少。本次修订，按照《建筑结构可靠度设计统一标准》GB 50068 的要求，确定设计用的水平地震作用的降低程度，需根据概率可靠度分析提供一定的概率保证，一般考虑 1.645 倍变异系数。于是，依据支座剪变刚度与隔震后体系周期及对应地震总剪力的关系，由支座刚度的变异导出地震总剪力的变异，再乘以 1.645，则大致得到不同支座的 ψ 值，S-A 类为 0.85，S-B 类为 0.80。当设置阻尼器时还需要附加与阻尼器有关的变异系数， ψ 值相应减少，对于 S-A 类，取 0.80，对于 S-B 类，取 0.75。

隔震后的上部结构用软件计算时，直接取 α_{max} 进行结构计算分析。从宏观的角度，可以将隔震后结构的水平地震作用大致归纳为比非隔震时降低半度、一度和一度半三个档次，如表 7 所示（对于一般橡胶支座）；而上部结构的抗震构造，只能按降低一度

分挡，即以 $\beta=0.40$ 分挡。

表 7 水平向减震系数与隔震后结构水平地震作用所对应烈度的分档

本地区设防烈度 (设计基本地震加速度)	水平向减震系数 β		
	$0.53 \geq \beta > 0.40$	$0.40 > \beta > 0.27$	$\beta \leq 0.27$
9 (0.40g)	8 (0.30g)	8 (0.20g)	7 (0.15g)
8 (0.30g)	8 (0.20g)	7 (0.15g)	7 (0.10g)
8 (0.20g)	7 (0.15g)	7 (0.10g)	7 (0.10g)
7 (0.15g)	7 (0.10g)	7 (0.10g)	6 (0.05g)
7 (0.10g)	7 (0.10g)	6 (0.05g)	6 (0.05g)

本次修订对 2001 规范的规定，还有下列变化：

1 计算水平减震系数的隔震支座参数，橡胶支座的水平剪切应变由 50% 改为 100%，大致接近设防地震的变形状态，支座的等效刚度比 2001 规范减少，计算的隔震的效果更明显。

2 多层隔震结构的水平地震作用沿高度矩形分布改为按重力荷载代表值分布。还补充了高层隔震建筑确定水平向减震系数的方法。

3 对 8 度设防考虑竖向地震的要求有所加严，由“宜”改为“应”。

12.2.7 隔震后上部结构的抗震措施可以适当降低，一般的橡胶支座以水平向减震系数 0.40 为界划分，并明确降低的要求不得超过一度，对于不同的设防烈度如表 8 所示：

表 8 水平向减震系数与隔震后上部结构抗震措施所对应烈度的分档

本地区设防烈度 (设计基本地震加速度)	水平向减震系数	
	$\beta \geq 0.40$	$\beta < 0.40$
9 (0.40g)	8 (0.30g)	8 (0.20g)
8 (0.30g)	8 (0.20g)	7 (0.15g)
8 (0.20g)	7 (0.15g)	7 (0.10g)
7 (0.15g)	7 (0.10g)	7 (0.10g)
7 (0.10g)	7 (0.10g)	6 (0.05g)

需注意，本规范的抗震措施，一般没有 8 度 ($0.30g$) 和 7 度 ($0.15g$) 的具体规定。因此，当 $\beta \geq 0.40$ 时抗震措施不降低，对于 7 度 ($0.15g$) 设防时，即使 $\beta < 0.40$ ，隔震后的抗震措施基本上不降低。

砌体结构隔震后的抗震措施，在附录 L 中有较为具体的规定。对混凝土结构的具体要求，可直接按降低后的烈度确定，本次修订不再给出具体要求。

考虑到隔震层对竖向地震作用没有隔振效果，隔震层以上结构的抗震构造措施应保留与竖向抗力有关的要求。本次修订，与抵抗竖向地震有关的措施用条注的方式予以明确。

12.2.8 本次修订，删去 2001 规范关于墙体下隔震支座的间距不宜大于 2m 的规定，使大直径的隔震支座布置更为合理。

为了保证隔震层能够整体协调工作，隔震层顶部应设置平面内刚度足够大的梁板体系。当采用装配整体式钢筋混凝土楼盖时，为使纵横梁体系能传递竖向荷载并协调横向剪力在每个隔震支座的分配，支座上方的纵横梁体系应为现浇。为增大隔震层顶部梁板的平面内刚度，需加大梁的截面尺寸和配筋。

隔震支座附近的梁、柱受力状态复杂，地震时还会受到冲切，应加密箍筋，必要时配置网状钢筋。

上部结构的底部剪力通过隔震支座传给基础结构。因此，上部结构与隔震支座的连接件、隔震支座与基础的连接件应具有传递上部结构最大底部剪力的能力。

12.2.9 对隔震层以下的结构部分，主要设计要求是：保证隔震设计能在罕遇地震下发挥隔震效果。因此，需进行与设防地震、罕遇地震有关的验算，并适当提高抗液化措施。

本次修订，增加了隔震层位于下部或大底盘顶部时对隔震层以下结构的规定，进一步明确了按隔震后而不是隔震前的受力和变形状态进行抗震承载力和变形验算的要求。

12.3 房屋消能减震设计要点

12.3.1 本规范对消能减震的基本要求是：通过消能器的设置来控制预期的结构变形，从而使主体结构构件在罕遇地震下不发生严重破坏。消能减震设计需解决的主要问题是：消能器和消能部件的选型，消能部件在结构中的分布和数量，消能器附加给结构的阻尼比估算，消能减震体系在罕遇地震下的位移计算，以及消能部件与主体结构的连接构造和其附加的作用等等。

罕遇地震下预期结构位移的控制值，取决于使用要求，本规范第 5.5 节的限值是针对非消能减震结构“大震不倒”的规定。采用消能减震技术后，结构位移的控制可明显小于第 5.5 节的规定。

消能器的类型甚多，按 ATC-33.03 的划分，主要分为位移相关型、速度相关型和其他类型。金属屈服型和摩擦型属于位移相关型，当位移达到预定的启动限才能发挥消能作用，有些摩擦型消能器的性能有时不够稳定。黏滞型和黏弹性型属于速度相关型。消能器的性能主要用恢复力模型表示，应通过试验确定，并需根据结构预期位移控制等因素合理选用。位移要求愈严，附加阻尼愈大，消能部件的要求愈高。

12.3.2 消能部件的布置需经分析确定。设置在结构的两个主轴方向，可使两方向均有附加阻尼和刚度；设置于结构变形较大的部位，可更好发挥消耗地震能量的作用。

本次修订，将 2001 规范规定框架结构的层间弹塑性位移角不应大于 $1/80$ 改为符合预期的变形控制要求，宜比不设置消能器的结构适当减小，设计上较为合理，仍体现消能减震提高结构抗震能力的优势。

12.3.3 消能减震设计计算的基本内容是：预估结构的位移，并与未采用消能减震结构的位移相比，求出所需的附加阻尼，选择消能部件的数量、布置和所能提供的阻尼大小，设计相应的消能部件，然后对消能减震体系进行整体分析，确认其是否满足位移

控制要求。

消能减震结构的计算方法，与消能部件的类型、数量、布置及所提供的阻尼大小有关。理论上，大阻尼比的阻尼矩阵不满足振型分解的正交性条件，需直接采用恢复力模型进行非线性静力分析或非线性时程分析计算。从实用的角度，ATC-33 建议适当简化；特别是主体结构基本控制在弹性工作范围内时，可采用线性计算方法估计。

12.3.4 采用底部剪力法或振型分解反应谱法计算消能减震结构时，需要通过强行解耦，然后计算消能减震结构的自振周期、振型和阻尼比。此时，消能部件附加给结构的阻尼，参照 ATC-33，用消能部件本身在地震下变形所吸收的能量与设置消能器后结构总地震变形能的比值来表征。

消能减震结构的总刚度取为结构刚度和消能部件刚度之和，消能减震结构的阻尼比按下列公式近似估算：

$$\zeta_j = \zeta_{sj} + \zeta_{cj}$$

$$\zeta_{cj} = \frac{T_j}{4\pi M_j} \Phi_j^T C_c \Phi_j$$

式中： ζ_j 、 ζ_{sj} 、 ζ_{cj} ——分别为消能减震结构的 j 振型阻尼比、原结构的 j 振型阻尼比和消能器附加的 j 振型阻尼比；

T_j 、 Φ_j 、 M_j ——消能减震结构第 j 自振周期、振型和广义质量；

C_c ——消能器产生的结构附加阻尼矩阵。

国内外的一些研究表明，当消能部件较均匀分布且阻尼比不大于 0.20 时，强行解耦与精确解的误差，大多数可控制在 5% 以内。

12.3.5 本次修订，增加了对黏弹性材料总厚度以及极限位移、极限速度的规定。

12.3.6 本次修订，根据实际工程经验，细化了 2001 版的检测要求，试验的循环次数，由 60 圈改为 30 圈。性能的衰减程度，

由 10% 降低为 15%。

12.3.7 本次修订，进一步明确消能器与主结构连接部件应在弹性范围内工作。

12.3.8 本条是新增的。当消能减震的地震影响系数不到非消能减震的 50% 时，可降低一度。

附录 L 隔震设计简化计算和 砌体结构隔震措施

1 对于剪切型结构，可根据基本周期和规范的地震影响系数曲线估计其隔震和不隔震的水平地震作用。此时，分别考虑结构基本周期不大于特征周期和大于特征周期两种情况，在每一种情况下又以5倍特征周期为界加以区分。

1) 不隔震结构的基本周期不大于特征周期 T_g 的情况：

设隔震结构的地震影响系数为 α ，不隔震结构的地震影响系数为 α' ，则对隔震结构，整个体系的基本周期为 T_1 ，当不大于 $5T_g$ 时地震影响系数

$$\alpha = \eta_2 (T_g/T_1)^\gamma \alpha_{\max} \quad (8)$$

由于不隔震结构的基本周期小于或等于特征周期，其地震影响系数

$$\alpha' = \alpha_{\max} \quad (9)$$

式中： α_{\max} ——阻尼比 0.05 的不隔震结构的水平地震影响系数最大值；

η_2 、 γ ——分别为与阻尼比有关的最大值调整系数和曲线下降段衰减指数，见本规范第 5.1 节条文说明。

按照减震系数的定义，若水平向减震系数为 β ，则隔震后结构的总水平地震作用为不隔震结构总水平地震作用的 β 倍，即

$$\alpha \leq \beta \alpha'$$

于是

$$\beta \geq \eta_2 (T_g/T_1)^\gamma$$

根据 2001 规范试设计的结果，简化法的减震系数小于时程法，采用 1.2 的系数可接近时程法，故规定：

$$\beta = 1.2 \eta_2 (T_g/T_1)^\gamma \quad (10)$$

当隔震后结构基本周期 $T_1 > 5T_g$ 时，地震影响系数为倾斜

下降段且要求不小于 $0.2\alpha_{\max}$ ，确定水平向减震系数需专门研究，往往不易实现。例如要使水平向减震系数为 0.25，需有：

$$T_1/T_g = 5 + (\eta_2 0.2^r - 0.175)/(\eta_1 T_g)$$

对Ⅱ类场地 $T_g=0.35s$ ，阻尼比 0.05，相应的 T_1 为 4.7s

但此时 $\alpha=0.175\alpha_{\max}$ ，不满足 $\alpha \geq 0.2\alpha_{\max}$ 的要求。

2) 结构基本周期大于特征周期的情况：

不隔震结构的基本周期 T_0 大于特征周期 T_g 时，地震影响系数为

$$\alpha' = (T_g/T_0)^{0.9}\alpha_{\max} \quad (11)$$

为使隔震结构的水平向减震系数达到 β ，同样考虑 1.2 的调整系数，需有

$$\beta = 1.2\eta_2(T_g/T_1)^r(T_0/T_g)^{0.9} \quad (12)$$

当隔震后结构基本周期 $T_1 > 5T_g$ 时，也需专门研究。

注意，若在 $T_0 \leq T_g$ 时，取 $T_0 = T_g$ ，则式(12)可转化为式(10)，意味着也适用于结构基本周期不大于特征周期的情况。

多层砌体结构的自振周期较短，对多层砌体结构及与其基本周期相当的结构，本规范按不隔震时基本周期不大于 0.4s 考虑。于是，在上述公式中引入“不隔震结构的计算周期 T_0 ”表示不隔震的基本周期，并规定多层砌体取 0.4s 和特征周期二者的较大值，其他结构取计算基本周期和特征周期的较大值，即得到规范条文中的公式：砌体结构用式(L. 1. 1-1)表达；与砌体周期相当的结构用式(L. 1. 1-2)表达。

2 本条提出的隔震层扭转影响系数是简化计算(图 27)。在隔震层顶板为刚性的假定下，由几何关系，第 i 支座的水平位移可写为：

$$u_i = \sqrt{(u_c + u_{ti} \sin \alpha_i)^2 + (u_{ti} \cos \alpha_i)^2}$$

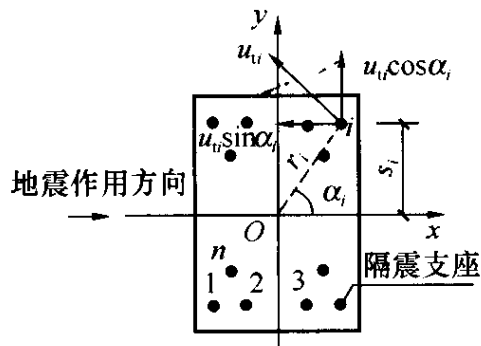


图 27 隔震层扭转计算简图

$$= \sqrt{u_c^2 + 2u_c u_{ti} \sin\alpha_i + u_{ti}^2}$$

略去高阶量，可得：

$$u_i = \eta_i u_c$$

$$\eta_i = 1 + (u_{ti}/u_c) \sin\alpha_i$$

另一方面，在水平地震下 i 支座的附加位移可根据楼层的扭转角与支座至隔震层刚度中心的距离得到，

$$\frac{\dot{u}_{ti}}{u_c} = \frac{k_h}{\sum k_j r_j^2} r_i e$$

$$\eta_i = 1 + \frac{k_h}{\sum k_j r_j^2} r_i e \sin\alpha_i$$

如果将隔震层平移刚度和扭转刚度用隔震层平面的几何尺寸表述，并设隔震层平面为矩形且隔震支座均匀布置，可得

$$k_h \propto ab$$

$$\sum k_j r_j^2 \propto ab(a^2 + b^2)/12$$

于是

$$\eta_i = 1 + 12es_i/(a^2 + b^2)$$

对于同时考虑双向水平地震作用的扭转影响的情况，由于隔震层在两个水平方向的刚度和阻尼特性相同，若两方向隔震层顶部的水平力近似认为相等，均取为 F_{EK} ，可有地震扭矩

$$M_{tx} = F_{EK}e_y, \quad M_{ty} = F_{EK}e_x$$

同时作用的地震扭矩取下列二者的较大：

$$M_t = \sqrt{M_{tx}^2 + (0.85M_{ty})^2} \text{ 和 } M_t = \sqrt{M_{ty}^2 + (0.85M_{tx})^2}$$

记为

$$M_{tx} = F_{EK}e$$

其中，偏心距 e 为下列二式的较大值：

$$e = \sqrt{e_x^2 + (0.85e_y)^2} \text{ 和 } e = \sqrt{e_y^2 + (0.85e_x)^2}$$

考虑到施工的误差，地震剪力的偏心距 e 宜计入偶然偏心距的影响，与本规范第 5.2 节的规定相同，隔震层也采用限制扭转影响系数最小值的方法处理。由于隔震结构设计有助于减轻结构扭转反应，建议偶然偏心距可根据隔震层的情况取值，不一定取垂直

于地震作用方向边长的 5%。

3 对于砌体结构，其竖向抗震验算可简化为墙体抗震承载力验算时在墙体的平均正应力 σ_0 计入竖向地震应力的不利影响。

4 考虑到隔震层对竖向地震作用没有隔震效果，上部砌体结构的构造应保留与竖向抗力有关的要求。对砌体结构的局部尺寸、圈梁配筋和构造柱、芯柱的最大间距作了原则规定。

13 非结构构件

13.1 一般规定

13.1.1 非结构的抗震设计所涉及的设计领域较多，本章主要涉及与主体结构设计有关的内容，即非结构构件与主体结构的连接件及其锚固的设计。

非结构构件（如墙板、幕墙、广告牌、机电设备等）自身的抗震，系以其不受损坏为前提的，本章不直接涉及这方面的内容。

本章所列的建筑附属设备，不包括工业建筑中的生产设备和相关设施。

13.1.2 非结构构件的抗震设防目标列于本规范第 3.7 节。与主体结构三水准设防目标相协调，容许建筑非结构构件的损坏程度略大于主体结构，但不得危及生命。

建筑非结构构件和建筑附属机电设备支架的抗震设防分类，各国的抗震规范、标准有不同的规定，本规范大致分为高、中、低三个层次：

高要求时，外观可能损坏而不影响使用功能和防火能力，安全玻璃可能裂缝，可经受相连结构构件出现 1.4 倍以上设计挠度的变形，即功能系数取 ≥ 1.4 ；

中等要求时，使用功能基本正常或可很快恢复，耐火时间减少 $1/4$ ，强化玻璃破碎，其他玻璃无下落，可经受相连结构构件出现设计挠度的变形，功能系数取 1.0；

一般要求，多数构件基本处于原位，但系统可能损坏，需修理才能恢复功能，耐火时间明显降低，容许玻璃破碎下落，只能经受相连结构构件出现 0.6 倍设计挠度的变形，功能系数取 0.6。

世界各国的抗震规范、规定中，要求对非结构的地震作用进行计算的有 60%，而仅有 28% 对非结构的构造作出规定。考虑到我国设计人员的习惯，首先要求采取抗震措施，对于抗震计算的范围由相关标准规定，一般情况下，除了本规范第 5 章有明确规定 的非结构构件，如出屋面女儿墙、长悬臂构件（雨篷等）外，尽量减少非结构构件地震作用计算和构件抗震验算的范围。例如，需要进行抗震验算的非结构构件大致如下：

- 1 7~9 度时，基本上为脆性材料制作的幕墙及各类幕墙的连接；
- 2 8、9 度时，悬挂重物的支座及其连接、出屋面广告牌和类似构件的锚固；
- 3 附着于高层建筑的重型商标、标志、信号等的支架；
- 4 8、9 度时，乙类建筑的文物陈列柜的支座及其连接；
- 5 7~9 度时，电梯提升设备的锚固件、高层建筑的电梯构件及其锚固；
- 6 7~9 度时，建筑附属设备自重超过 1.8kN 或其体系自振周期大于 0.1s 的设备支架、基座及其锚固。

13.1.3 很多情况下，同一部位有多个非结构构件，如出入口通道可包括非承重墙体、悬吊顶棚、应急照明和出入信号四个非结构构件；电气转换开关可能安装在非承重隔墙上等。当抗震设防要求不同的非结构构件连接在一起时，要求低的构件也需按较高的要求设计，以确保较高设防要求的构件能满足规定。

13.2 基本计算要求

13.2.1 本条明确了结构专业所需考虑的非结构构件的影响，包括如何在结构设计中计人相关的重力、刚度、承载力和必要的相互作用。结构构件设计时仅计人支承非结构部位的集中作用并验算连接件的锚固。

13.2.2 非结构构件的地震作用，除了自身质量产生的惯性力外，还有支座间相对位移产生的附加作用；二者需同时组合

计算。

非结构构件的地震作用，除了本规范第5章规定的长悬臂构件外，只考虑水平方向。其基本的计算方法是对应于“地面反应谱”的“楼面谱”，即反映支承非结构构件的主体结构体系自身动力特性、非结构构件所在楼层位置和支点数量、结构和非结构阻尼特性对地面地震运动的放大作用；当非结构构件的质量较大时或非结构体系的自振特性与主结构体系的某一振型的振动特性相近时，非结构体系还将与主结构体系的地震反应产生相互影响。一般情况下，可采用简化方法，即等效侧力法计算；同时计入支座间相对位移产生的附加内力。对刚性连接于楼盖上的设备，当与楼层并为一个质点参与整个结构的计算分析时，也不必另外用楼面谱进行其地震作用计算。

要求进行楼面谱计算的非结构构件，主要是建筑附属设备，如巨大的高位水箱、出屋面的大型塔架等。采用第二代楼面谱计算可反映非结构构件对所在建筑结构的反作用，不仅导致结构本身地震反应的变化，固定在其上的非结构的地震反应也明显不同。

计算楼面谱的基本方法是随机振动法和时程分析法，当非结构构件的材料与结构体系相同时，可直接利用一般的时程分析软件得到；当非结构构件的质量较大，或材料阻尼特性明显不同，或在不同楼层上有支点，需采用第二代楼面谱的方法进行验算。此时，可考虑非结构与主体结构的相互作用，包括“吸振效应”，计算结果更加可靠。采用时程分析法和随机振动法计算楼面谱需有专门的计算软件。

13.2.3 非结构构件的抗震计算，最早见于 ACT-3，采用了静力法。

等效侧力法在第一代楼面谱（以建筑的楼面运动作为地震输入，将非结构构件作为单自由度系统，将其最大反应的均值作为楼面谱，不考虑非结构构件对楼层的反作用）基础上做了简化。各国抗震规范的非结构构件的等效侧力法，一般由设计加速度、

功能(或重要)系数、构件类别系数、位置系数、动力放大系数和构件重力六个因素所决定。

设计加速度一般取相当于设防烈度的地面运动加速度；与本规范各章协调，这里仍取多遇地震对应的加速度。

部分非结构构件的功能系数和类别系数参见本规范附录 M 第 M.2 节。

位置系数，一般沿高度为线性分布，顶点的取值，UBC97 为 4.0，欧洲规范为 2.0，日本取 3.3。根据强震观测记录的分析，对多层和一般的高层建筑，顶部的加速度约为底层的二倍；当结构有明显的扭转效应或高宽比较大时，房屋顶部和底部的加速度比例大于 2.0。因此，凡采用时程分析法补充计算的建筑结构，此比值应依据时程分析法相应调整。

状态系数，取决于非结构体系的自振周期，UBC97 在不同场地条件下，以周期 1s 时的动力放大系数为基础再乘以 2.5 和 1.0 两档，欧洲规范要求计算非结构体系的自振周期 T_a ，取值为 $3/[1 + (1 - T_a/T_1)^2]$ ，日本取 1.0、1.5 和 2.0 三档。本规范不要求计算体系的周期，简化为两种极端情况，1.0 适用于非结构的体系自振周期不大于 0.06s 等体系刚度较大的情况，其余按 T_a 接近于 T_1 的情况取值。当计算非结构体系的自振周期时，则可按 $2/[1 + (1 - T_a/T_1)^2]$ 采用。

由此得到的地震作用系数(取位置、状态和构件类别三个系数的乘积)的取值范围，与主体结构体系相比，UBC97 按场地不同为(0.7~4.0)倍[若以硬土条件下结构周期 1.0s 为 1.0，则为(0.5~5.6)倍]，欧洲规范为 0.75~6.0 倍[若以硬土条件下结构周期 1.0s 为 1.0，则为(1.2~10)倍]。我国一般为(0.6~4.8)倍[若以 $T_g=0.4s$ 、结构周期 1.0s 为 1.0，则为(1.3~11)倍]。

13.2.4 非结构构件支座间相对位移的取值，凡需验算层间位移者，除有关标准的规定外，一般按本规范规定的位移限值采用。

对建筑非结构构件，其变形能力相差较大。砌体材料构成的非结构构件，由于变形能力较差而限制在要求高的场所使用，国

外的规范也只有构造要求而不要求进行抗震计算；金属幕墙和高级装修材料具有较大的变形能力，国外通常由生产厂家按主体结构设计的变形要求提供相应的材料，而不是由材料决定结构的变形要求；对玻璃幕墙，《建筑幕墙》标准中已规定其平面内变形分为五个等级，最大 $1/100$ ，最小 $1/400$ 。

对设备支架，支座间相对位移的取值与使用要求有直接联系。例如，要求在设防烈度地震下保持使用功能（如管道不破碎等），取设防烈度下的变形，即功能系数可取 $2\sim 3$ ，相应的变形限值取多遇地震的（ $3\sim 4$ ）倍；要求在罕遇地震下不造成次生灾害，则取罕遇地震下的变形限值。

13.2.5 本条规定非结构构件地震作用效应组合和承载力验算的原则。强调不得将摩擦力作为抗震设计的抗力。

13.3 建筑非结构构件的基本抗震措施

89 规范各章中有关建筑非结构构件的构造要求如下：

- 1 砌体房屋中，后砌隔墙、楼梯间砖砌栏板的规定；
- 2 多层钢筋混凝土房屋中，围护墙和隔墙材料、砖填充墙布置和连接的规定；
- 3 单层钢筋混凝土柱厂房中，天窗端壁板、围护墙、高低跨封墙和纵横跨悬墙的材料和布置的规定，砌体隔墙和围护墙、墙梁、大型墙板等与排架柱、抗风柱的连接构造要求；
- 4 单层砖柱厂房中，隔墙的选型和连接构造规定；
- 5 单层钢结构厂房中，围护墙选型和连接要求。

2001 规范将上述规定加以合并整理，形成建筑非结构构件材料、选型、布置和锚固的基本抗震要求。还补充了吊车走道板、天沟板、端屋架与山墙间的填充小屋面板，天窗端壁板和天窗侧板下的填充砌体等非结构件与支承结构可靠连接的规定。

玻璃幕墙已有专门的规程，预制墙板、顶棚及女儿墙、雨篷等附属构件的规定，也由专门的非结构抗震设计规程加以规定。

本次修订的主要内容如下：

- 13.3.3** 将砌体房屋中关于烟道、垃圾道的规定移入本节。
- 13.3.4** 增加了框架楼梯间等处填充墙设置钢丝网面层加强的要求。

13.3.5 进一步明确厂房围护墙的设置应注意下列问题：

1 唐山地震震害经验表明：嵌砌墙的墙体破坏较外贴墙轻得多，但对厂房的整体抗震性能极为不利，在多跨厂房和外纵墙不对称布置的厂房中，由于各柱列的纵向侧移刚度差别悬殊，导致厂房纵向破坏，倒塌的震例不少，即使两侧均为嵌砌墙的单跨厂房，也会由于纵向侧移刚度的增加而加大厂房的纵向地震作用效，特别是柱顶地震作用的集中对柱顶节点的抗震很不利，容易造成柱顶节点破坏，危及屋盖的安全，同时由于门窗洞口处刚度的削弱和突变，还会导致门窗洞口处柱子的破坏，因此，单跨厂房也不宜在两侧采用嵌砌墙。

2 砖砌体的高低跨封墙和纵横向厂房交接处的悬墙，由于质量大、位置高，在水平地震作用特别是高振型影响下，外甩力大，容易发生外倾、倒塌，造成高砸低的震害，不仅砸坏低屋盖，还可能破坏低跨设备或伤人，危害严重，唐山地震中，这种震害的发生率很高，因此，宜采用轻质墙板，当必须采用砖砌体时，应加强与主体结构的锚拉。

3 高低跨封墙直接砌在低跨屋面板上时，由于高振型和上、下变形不协调的影响，容易发生倒塌破坏，并砸坏低跨屋盖，邢台地震 7 度区就有这种震例。

4 砌体女儿墙的震害较普遍，故规定需设置时，应控制其高度，并采取防地震时倾倒的构造措施。

5 不同墙体材料的质量、刚度不同，对主体结构的地震影响不同，对抗震不利，故不宜采用。必要时，宜采用相应的措施。

13.3.6 本条文字表达略有修改。轻型板材是指彩色涂层压型钢板、硬质金属面夹芯板，以及铝合金板等轻型板材。

降低房屋盖和围护结构的重量，对抗震十分有利。震害调

查表明，轻型墙板的抗震效果很好。大型墙板围护厂房的抗震性能明显优于砌体围护墙厂房。大型墙板与厂房柱刚性连接，对厂房的抗震不利，并对厂房的纵向温度变形、厂房柱不均匀沉降以及各种振动也都不利。因此，大型墙板与厂房柱间应优先采用柔性连接。

嵌砌砌体墙对厂房的纵向抗震不利，故一般不应采用。

13.4 建筑附属机电设备支架的基本抗震措施

本规范仅规定对附属机电设备支架的基本要求。并参照美国 UBC 规范的规定，给出了可不作抗震设防要求的一些小型设备和小直径的管道。

建筑附属机电设备的种类繁多，参照美国 UBC97 规范，要求自重超过 1.8kN (400 磅) 或自振周期大于 0.1s 时，要进行抗震计算。计算自振周期时，一般采用单质点模型。对于支承条件复杂的机电设备，其计算模型应符合相关设备标准的要求。

附录 M 实现抗震性能设计目标的参考方法

M. 1 结构构件抗震性能设计方法

M. 1.1 本条依据震害，尽可能将结构构件在地震中的破坏程度，用构件的承载力和变形的状态做适当的定量描述，以作为性能设计的参考指标。

关于中等破坏时构件变形的参考值，大致取规范弹性限值和弹塑性限值的平均值；构件接近极限承载力时，其变形比中等破坏小些；轻微损坏，构件处于开裂状态，大致取中等破坏的一半。不严重破坏，大致取规范不倒塌的弹塑性变形限值的 90%。

不同性能要求的位移及其延性要求，参见图 28。从中可见，对于非隔震、减震结构，性能 1，在罕遇地震时层间位移可按线性弹性计算，约为 $[\Delta u_e]$ ，震后基本不存在残余变形；性能 2，震时位移小于 $2[\Delta u_e]$ ，震后残余变形小于 $0.5[\Delta u_e]$ ；性能 3，考虑阻尼有所增加，震时位移约为 $(4\sim 5)[\Delta u_e]$ ，按退化刚度估计震后残余变形约 $[\Delta u_e]$ ；性能 4，考虑等效阻尼加大和刚度退化，震时位移约为 $(7\sim 8)[\Delta u_e]$ ，震后残余变形约 $2[\Delta u_e]$ 。

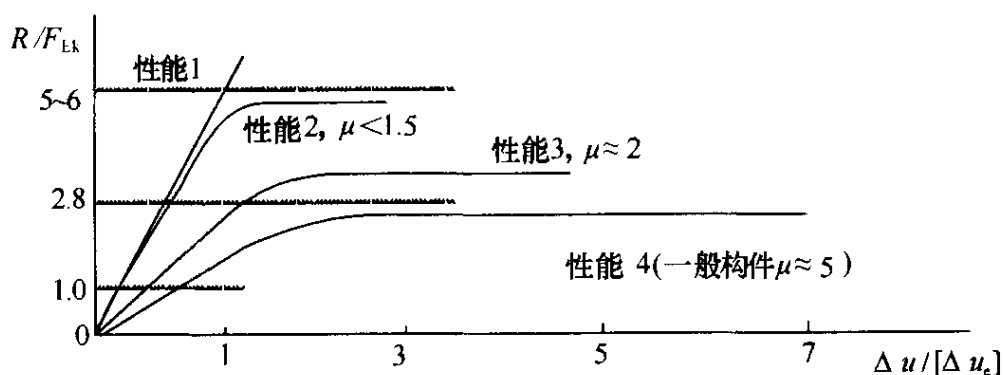


图 28 不同性能要求的位移和延性需求示意图

从抗震能力的等能量原理，当承载力提高一倍时，延性要求减少一半，故构造所对应的抗震等级大致可按降低一度的规定采

用。延性的细部构造，对混凝土构件主要指箍筋、边缘构件和轴压比等构造，不包括影响正截面承载力的纵向受力钢筋的构造要求；对钢结构构件主要指长细比、板件宽厚比、加劲肋等构造。

M. 1.2 本条列出了实现不同性能要求的构件承载力验算表达式，中震和大震均不考虑地震效应与风荷载效应的组合。

设计值复核，需计人作用分项系数、抗力的材料分项系数、承载力抗震调整系数，但计人和不计人不同抗震等级的内力调整系数时，其安全性的高低略有区别。

标准值和极限值复核，不计人作用分项系数、承载力抗震调整系数和内力调整系数，但材料强度分别取标准值和最小极限值。其中，钢材强度的最小极限值 f_u 按《高层民用建筑钢结构技术规程》JGJ 99 采用，约为钢材屈服强度的（1.35～1.5）倍；钢筋最小极限强度参照本规范第 3.9.2 条，取钢筋屈服强度 f_y 的 1.25 倍；混凝土最小极限强度参照《混凝土结构设计规范》GB 50011—2002 第 4.1.3 条的说明，考虑实际结构混凝土强度与试件混凝土强度的差异，取立方强度的 0.88 倍。

M. 1.3 本条给出竖向构件弹塑性变形验算的注意事项。

对于不同的破坏状态，弹塑性分析的地震作用和变形计算的方法也不同，需分别处理。

地震作用下构件弹塑性变形计算时，必须依据其实际的承载力——取材料强度标准值、实际截面尺寸（含钢筋截面）、轴向力等计算，考虑地震强度的不确定性，构件材料动静强度的差异等因素的影响，从工程的角度，构件弹塑性参数可仍按杆件模型适当简化，参照 IBC 的规定，建议混凝土构件的初始刚度取短期或长期刚度，至少按 $0.85E_c I$ 简化计算。

结构的竖向构件在不同破坏状态下层间位移角的参考控制目标，若依据试验结果并扣除整体转动影响，墙体的控制值要远小于框架柱。从工程应用的角度，参照常规设计时各楼层最大层间位移角的限值，若干结构类型按本条正文规定得到的变形最大的楼层中竖向构件最大位移角限值，如表 9 所示。

表 9 结构竖向构件对应于不同破坏状态的最大层间位移角参考控制目标

结构类型	完好	轻微损坏	中等破坏	不严重破坏
钢筋混凝土框架	1/550	1/250	1/120	1/60
钢筋混凝土抗震墙、筒中筒	1/1000	1/500	1/250	1/135
钢筋混凝土框架-抗震墙、板柱-抗震墙、框架-核心筒	1/800	1/400	1/200	1/110
钢筋混凝土框支层	1/1000	1/500	1/250	1/135
钢结构	1/300	1/200	1/100	1/55
钢框架-钢筋混凝土内筒、型钢混凝土框架-钢筋混凝土内筒	1/800	1/400	1/200	1/110

M. 2 建筑构件和建筑附属设备支座抗震性能设计方法

各类建筑构件在强烈地震下的性能，一般允许其损坏大于结构构件，在大震下损坏不对生命造成危害。固定于结构的各类机电设备，则需考虑使用功能保持的程度，如检修后照常使用、一般性修理后恢复使用、更换部分构件的大修后恢复使用等。

本附录的表 M. 2. 2 和表 M. 2. 3 来自 2001 规范第 13. 2. 3 条的条文说明，主要参考国外的相关规定。

关于功能系数，UBC97 分 1.5 和 1.0 两档，欧洲规范分 1.5、1.4、1.2、1.0 和 0.8 五档，日本取 1.0，2/3，1/2 三档。本附录按设防类别和使用要求确定，一般分为三档，取 ≥ 1.4 、1.0 和 0.6。

关于构件类别系数，美国早期的 ATC-3 分 0.6、0.9、1.5、2.0、3.0 五档，UBC97 称反应修正系数，无延性材料或采用胶粘剂的锚固为 1.0，其余分为 2/3、1/3、1/4 三档，欧洲规范分 1.0 和 1/2 两档。本附录分 0.6、0.9、1.0 和 1.2 四档。

M. 3 建筑构件和建筑附属设备抗震计算的楼面谱方法

非结构抗震设计的楼面谱，即从具体的结构及非结构所在的

楼层在地震下的运动（如实际加速度记录或模拟加速度时程）得到具体的加速度谱，体现非结构动力特性对所处环境（场地条件、结构特性、非结构位置等）地震反应的再次放大效果。对不同的结构或同一结构的不同楼层，其楼面谱均不相同，在与结构体系主要振动周期相近的若干周期段，均有明显的放大效果。下面给出北京长富宫的楼面谱，可以看到上述特点。

北京长富宫为地上 25 层的钢结构，前六个自振周期为 3.45s、1.15s、0.66s、0.48s、0.46s、0.35s。采用随机振动法计算的顶层楼面反应谱如图 29 所示，说明非结构的支承条件不同时，与主体结构的某个振型发生共振的机会是较多的。

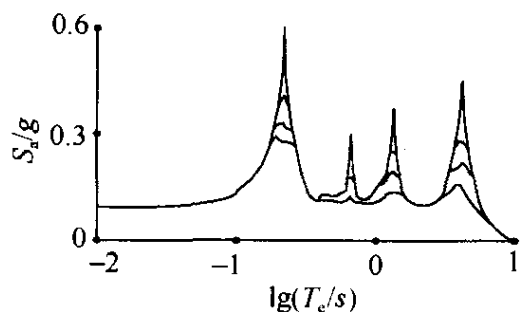


图 29 长富宫顶层的楼面反应谱

14 地下建筑

14.1 一般规定

14.1.1 本章是新增加的，主要规定地下建筑不同于地面建筑的抗震设计要求。

地下建筑种类较多，有的抗震能力强，有的使用要求高，有的服务于人流、车流，有的服务于物资储藏，抗震设防应有不同的要求。本章的适用范围为单建式地下建筑，且不包括地下铁道和城市公路隧道，因为地下铁道和城市公路隧道等属于交通运输类工程。

高层建筑的地下室（包括设置防震缝与主楼对应范围分开的地下室）属于附建式地下建筑，其性能要求通常与地面建筑一致，可按本规范有关章节所提出的要求设计。

随着城市建设的快速发展，单建式地下建筑的规模正在增大，类型正在增多，其抗震能力和抗震设防要求也有差异，需要在工程设计中进一步研究，逐步解决。

14.1.2 建设场地的地形、地质条件对地下建筑结构的抗震性能均有直接或间接的影响。选择在密实、均匀、稳定的地基上建造，有利于结构在经受地震作用时保持稳定。

14.1.3、14.1.4 对称、规则并具有良好的整体性，及结构的侧向刚度宜自下而上逐渐减小等是抗震结构建筑布置的常见要求。地下建筑与地面建筑的区别是，地下建筑结构尤应力求体型简单，纵向、横向外形平顺，剖面形状、构件组成和尺寸不沿纵向经常变化，使其抗震能力提高。

关于钢筋混凝土结构的地下建筑的抗震等级，其要求略高于高层建筑的地下室，这是由于：

- ① 高层建筑地下室，在楼房倒塌后一般即弃之不用，单建

式地下建筑则在附近房屋倒塌后仍常有继续服役的必要，其使用功能的重要性常高于高层建筑地下室；

② 地下结构一般不宜带缝工作，尤其是在地下水位较高的场合，其整体性要求高于地面建筑；

③ 地下空间通常是不可再生的资源，损坏后一般不能推倒重来，需原地修复，而难度较大。

本条的具体规定主要针对乙类、丙类设防的地下建筑，其他设防类别，除有具体规定外，可按本规范相关规定提高或降低。

14.1.5 岩石地下建筑的口部结构往往是抗震能力薄弱的部位，洞口的地形、地质条件则对口部结构的抗震稳定性有直接的影响，故应特别注意洞口位置和口部结构类型的选择的合理性。

14.2 计 算 要 点

14.2.1 本条根据当前的工程经验，确定抗震设计中可不进行计算分析的地下建筑的范围。

设防烈度为 7 度时 I、II 类场地中的丙类建筑可不计算，主要是参考唐山地震中天津市人防工程震害调查的资料。

设防烈度为 8 度 ($0.20g$) I、II 类场地中层数不多于 2 层、体型简单、跨度不大、构件连结整体性好的丙类建筑，其结构刚度相对较大，抗震能力相对较强，具有设计经验时也可不进行地震作用计算。

14.2.2 本条规定地下建筑抗震计算的模型和相应的计算方法。

1 地下建筑结构抗震计算模型的最大特点是，除了结构自身受力、传力途径的模拟外，还需要正确模拟周围土层的影响。

长条形地下结构按横截面的平面应变问题进行抗震计算的方法，一般适用于离端部或接头的距离达 1.5 倍结构跨度以上的地下建筑结构。端部和接头部位等的结构受力变形情况较复杂，进行抗震计算时原则上应按空间结构模型进行分析。

结构形式、土层和荷载分布的规则性对结构的地震反应都有影响，差异较大时地下结构的地震反应也将有明显的空间效应。

此时，即使是外形相仿的长条形结构，也宜按空间结构模型进行抗震计算和分析。

2 对地下建筑结构，反应位移法、等效水平地震加速度法或等效侧力法，作为简便方法，仅适用于平面应变问题的地震反应分析；其余情况，需要采用具有普遍适用性的时程分析法。

3 反应位移法。采用反应位移法计算时，将土层动力反应位移的最大值作为强制位移施加于结构上，然后按静力原理计算内力。土层动力反应位移的最大值可通过输入地震波的动力有限元计算确定。

以长条形地下结构为例，其横截面的等效侧向荷载为由两侧土层变形形成的侧向力 $p(z)$ 、结构自重产生的惯性力及结构与周围土层间的剪切力 τ 三者的总和（图 30）。地下结构本身的惯性力，可取结构的质量乘以最大加速度，并施加在结构重心上。

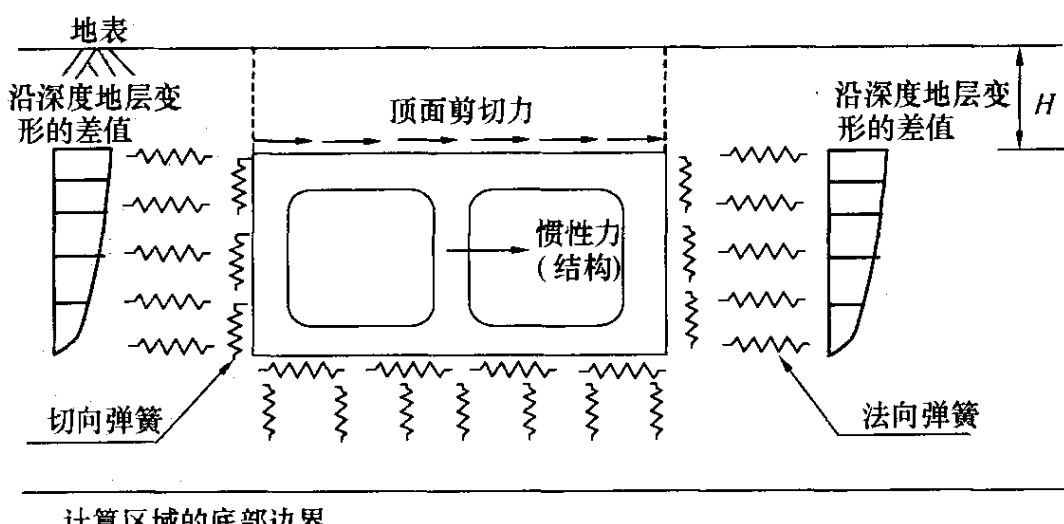


图 30 反应位移法的等效荷载

$p(z)$ 和 τ 可按下列公式计算：

$$\tau = \frac{G}{\pi H} S_v T_s \quad (13)$$

$$p(z) = k_h [u(z) - u(z_b)] \quad (14)$$

式中， τ 为地下结构顶板上表面与土层接触处的剪切力； G 为土层的动剪变模量，可采用结构周围地层中应变水平为 10^{-4} 量级

的地层的剪切刚度，其值约为初始值的 70%~80%； H 为顶板以上土层的厚度， S_v 为基底上的速度反应谱，可由地面加速度反应谱得到； T_s 为顶板以上土层的固有周期； $p(z)$ 为土层变形形成的侧向力， $u(z)$ 为距地表深度 z 处的地震土层变形； z_b 为地下结构底面距地表面的深度； k_h 为地震时单位面积的水平向土层弹簧系数，可采用不包含地下结构的土层有限元网格，在地下结构处施加单位水平力然后求出对应的水平变形得到。

4 等效水平地震加速度法。此法将地下结构的地震反应简化为沿垂直向线性分布的等效水平地震加速度的作用效应，计算采用的数值方法常为有限元法；等效侧力法将地下结构的地震反应简化为作用在节点上的等效水平地震惯性力的作用效应，从而可采用结构力学方法计算结构的动内力。两种方法都较简单，尤其是等效侧力法。但二者需分别得出等效水平地震加速度荷载系数和等效侧力系数等的取值，普遍适用性较差。

5 时程分析法。根据软土地区的研究成果，平面应变问题时程分析法网格划分时，侧向边界宜取至离相邻结构边墙至少 3 倍结构宽度处，底部边界取至基岩表面，或经时程分析试算结果趋于稳定的深度处，上部边界取至地表。计算的边界条件，侧向边界可采用自由场边界，底部边界离结构底面较远时可取为可输入地震加速度时程的固定边界，地表为自由变形边界。

采用空间结构模型计算时，在横截面上的计算范围和边界条件可与平面应变问题的计算相同，纵向边界可取为离结构端部距离为 2 倍结构横断面面积当量宽度处的横剖面，边界条件均宜为自由场边界。

14.2.3 本条规定地下结构抗震计算的主要设计参数：

1 地下结构的地震作用方向与地面建筑的区别。首先是对长条形地下结构，作用方向与其纵轴方向斜交的水平地震作用，可分解为横断面上和沿纵轴方向作用的水平地震作用，二者强度均将降低，一般不可能单独起控制作用。因而对其按平面应变问题分析时，一般可仅考虑沿结构横向的水平地震作用；对地

下空间综合体等体型复杂的地下建筑结构，宜同时计算结构横向和纵向的水平地震作用。其次是对竖向地震作用的要求，体型复杂的地下空间结构或地基地质条件复杂的长条形地下结构，都易产生不均匀沉降并导致结构裂损，因而即使设防烈度为 7 度，必要时也需考虑竖向地震作用效应的综合作用。

2 地面以下地震作用的大小。地面下设计基本地震加速度值随深度逐渐减小是公认的，但取值各国有不同的规定；一般在基岩面取地表的 1/2，基岩至地表按深度线性内插。我国《水工建筑物抗震设计规范》DL 5073 第 9.1.2 条规定地表为基岩面时，基岩面下 50m 及其以下部位的设计地震加速度代表值可取为地表规定值的 1/2，不足 50m 处可按深度由线性插值确定。对于进行地震安全性评价的场地，则可根据具体情况按一维或多维的模型进行分析后确定其减小的规律。

3 地下结构的重力荷载代表值。地下建筑结构静力设计时，水、土压力是主要荷载，故在确定地下建筑结构的重力荷载的代表值时，应包含水、土压力的标准值。

4 土层的计算参数。软土的动力特性采用 Davidkov 模型表述时，动剪变模量 G 、阻尼比 λ 与动剪应变 γ_d 之间满足关系式：

$$\frac{G}{G_{\max}} = 1 - \left[\frac{(\gamma_d/\gamma_0)^{2B}}{1 + (\gamma_d/\gamma_0)^{2B}} \right]^A \quad (15)$$

$$\frac{\lambda}{\lambda_{\max}} = \left[1 - \frac{G}{G_{\max}} \right]^{\beta} \quad (16)$$

式中， G_{\max} 为最大动剪变模量， γ_0 为参考应变， λ_{\max} 为最大阻尼比， A 、 B 、 β 为拟合参数。

以上参数可由土的动力特性试验确定，缺乏资料时也可按下列经验公式估算。

$$G_{\max} = \rho c_s^2 \quad (17)$$

$$\lambda_{\max} = \alpha_2 - \alpha_3 (\sigma'_v)^{\frac{1}{2}} \quad (18)$$

$$\sigma'_v = \sum_{i=1}^n \gamma_i h_i \quad (19)$$

式中, ρ 为质量密度, c_s 为剪切波速, σ'_v 为有效上覆压力, γ'_i 为第 i 层土的有效重度, h_i 为第 i 层土的厚度, α_2 、 α_3 为经验常数, 可由当地试验数据拟合分析确定。

14.2.4 地下建筑不同于地面建筑的抗震验算内容如下:

- 1 一般应进行多遇地震下承载力和变形的验算。
- 2 考虑地下建筑修复的难度较大, 将罕遇地震作用下混凝土结构弹塑性层间位移角的限值取为 $[\theta_p] = 1/250$ 。由于多遇地震作用下按结构弹性状态计算得到的结果可能不满足罕遇地震作用下的弹塑性变形要求, 建议进行设防地震下构件承载力和结构变形验算, 使其在设防地震下可安全使用, 在罕遇地震下能满足抗震变形验算的要求。

3 在有可能液化的地基中建造地下建筑结构时, 应注意检验其抗浮稳定性, 并在必要时采取措施加固地基, 以防地震时结构周围的场地液化。鉴于经采取措施加固后地基的动力特性将有变化, 本条要求根据实测标准贯入锤击数与临界锤击数的比值确定液化折减系数, 并进而计算地下连续墙和抗拔桩等的摩阻力。

14.3 抗震构造措施和抗液化措施

14.3.1 地下钢筋混凝土框架结构构件的尺寸常大于同类地面结构的构件, 但因使用功能不同的框架结构要求不一致, 因而本条仅提构件最小尺寸应至少符合同类地面建筑结构构件的规定, 而未对其规定具体尺寸。

地下钢筋混凝土结构按抗震等级提出的构造要求, 第 3 款为根据“强柱弱梁”的设计概念适当加强框架柱的措施。

14.3.2 本条规定比地上板柱结构有所加强, 旨在便于协调安全受力和方便施工的需要。为加快施工进度, 减少基坑暴露时间, 地下建筑结构的底板、顶板和楼板常采用无梁肋结构, 由此使底板、顶板和楼板等的受力体系不再是板梁体系, 故在必要时宜通过在柱上板带中设置暗梁对其加强。

为加强楼盖结构的整体性，提出第 2 款为加强周边墙体与楼板的连接构造的措施。

水平地震作用下，地下建筑侧墙、顶板和楼板开孔都将影响结构体系的抗震承载能力，故有必要适当限制开孔面积，并辅以必要的措施加强孔口周围的构件。

14.3.3 根据单建式地下建筑结构的特点，提出遇到液化地基时可采用的处理技术和要求。

对周围土体和地基中存在的液化土层，注浆加固和换土等技术措施可有效地消除或减轻液化危害。

对液化土层未采取措施时，应考虑其上浮的可能性，验算方法及要求见本章第 14.2 节，必要时应采取抗浮措施。

地基中包含薄的液化土夹层时，以加强地下结构而不是加固地基为好。当基坑开挖中采用深度大于 20m 的地下连续墙作为围护结构时，坑内土体将因受到地下连续墙的挟持包围而形成较好的场地条件，地震时一般不可能液化。这两种情况，周围土体都存在液化土，在承载力及抗浮稳定性验算中，仍应计入周围土层液化引起的土压力增加和摩阻力降低等因素的影响。

14.3.4 当地下建筑不可避免地必须通过滑坡和地质条件剧烈变化的地段时，本条给出了减轻地下建筑结构地震作用效应的构造措施。

14.3.5 汶川地震中公路隧道的震害调查表明，当断层破碎带的复合式支护采用素混凝土内衬时，地震下内衬结构严重裂损并大量坍塌，而采用钢筋混凝土内衬结构的隧道口部地段，复合式支护的内衬结构仅出现裂缝。因此，要求在断层破碎带中采用钢筋混凝土内衬结构。